

АКАДЕМИЯ НАУК УССР

ДОКУМЕНТ ТЕХНОЛОГИЧЕСКОГО ИНСТИТУТА

Протокол
Документ № 5-631)

P. G. Bardean, A. N. Bodenko, A. P. Il'ин

УРАВНЕНИЕ ЛИНЕЙНОЙ
ЗАВИСИМОСТИ РАСПРЕДЕЛЕНИЯ
(Число 1.)

документ

Бикбайев Р.Ф., Бобенко А.М., Иса А.Р.

Уравнение Ланду-Лифшица. Теория точных решений. I

Методом обратной задачи исследуется хорошо известное в теории ферромагнетизма уравнение Ланду-Лифшица. Построены все элементарные волнаудаленные солитонного типа. Изучено их взаимодействие. Получены также конечнозонные (в тога-функциях) решения, среди них включены вещественные.

Работа выполнена в Ленинградском государственном университете и Ленинградском отделении Математического института им. В.А. Стеклова АН СССР.

Препринг Донецкого физико-технического института АН УССР, Донецк, 1984.

© 1984.

Бикбайев Р.Ф., Бобенко А.Л., Иса А.Р.

The Lands-Lifshits equation. Theory of explicit solutions. I.

On the basis of the inverse scattering method the Landau-Lifshits equation in the theory of ferromagnets is investigated. All solution existences are constructed and their interaction is described in detail. The final formulae for the finite-gap solutions (the theta-function solutions) are obtained and feel ones are isolated.

This work has been carried out in Leningrad State University and Leningrad Department Steklov Mathematical Institute.

Preprint of Donetsk Physico-Technical Institute of the Ukrainian Academy of Sciences, Donetsk, 1984.

(C) Донецкий физико-технический институт АН УССР, 1984

Хорошо известное в теории ферромагнетизма уравнение Ланду-

Лифшица (уравнение Л-Л) [23] *

$$\vec{S}_t = [\vec{S} \times \vec{S}_{xx}] + [\vec{S} \times \vec{J}] \vec{S}, \quad \vec{S} = (S_1, S_2, S_3), \quad (0.1)$$

$$J = \det([J_1, J_2, J_3]), \quad S_1^2 + S_2^2 + S_3^2 = 1$$

уже несколько лет является объектом повышенного внимания со стороны специалистов по теории вполне интегрируемых нелинейных волнодинамических систем. Этот особенный, по отношению к другим погружающимся в них системам, скелет метода, интерес к уравнению (0.1) объясняется, в частности, следующим обстоятельством. Представление уравнения Л-Л в виде условия совместности двух линейных уравнений (продольное $U-V$ пары) было получено относительно давно: в 1977 году — для полностью изотропного случая ($J_1 = J_2 = J_3$, XXX -модель) Л.А. Гартманном [39], в 1978 году — для случая односторонней анизотропии ($J_1 = J_2 \neq J_3$, XYZ -модель) А.В. Борисковым [14], в 1979 году — для случая полной анизотропии ($J_1 \neq J_2 \neq J_3$, XYZ -модель) Б.И. Скилдинским и, независимо, А.В. Борисковым [38]. Тогда

же в 1978 году открылась возможность применить к уравнению (0.1) традиционный аппарат метода обратной задачи со всеми его основными атрибутами: построение зонных решений, исследование задач Коши и т.п. Однако чисто до самого последнего времени эта возможность в полной мере так и не была реализована. Годность применения метода обратной задачи к уравнению Л-Л объяснялась тем, что уравнение Л-Л более, чем какая-либо другая интегрируемая система, требует перфорированного метода обратной задачи в метод метрической

* Список литературы приведен во второй части настоящего прриложения.

задачи Рикса". Полобная тиреография доказала, к моменту написания $U-U'$ для уравнения (0.1), окончательно еще не была осуществлена, хотя, строго говоря, первоисполнение схемы мотоцикла обратной задачи в указанном направлении началось еще в 1975 году в известных работах А.Б.Шагата, В.Е.Захарова и С.В.Макарова [28], [19]. Такой образом, с 1979 года в математической теории управления (0.1) исключительно важно, поистине, независимо от "взаимоизменений" с методом обратной задачи, термины уравнения Л-Л идентично определяются весьма странной ситуацией – уравнение, казалось бы, было получено в скелете метода обратной задачи, а реальной выгоды от этого не ощущалось. Заметим, что с физической точки зрения управление (0.1) идентично вакууму. Поэтому, независимо от "взаимоизменений" с методом обратной задачи, термины уравнения Л-Л идентично определены разве что. В частности, к 1979 году уже было известно многое его частных решений как сложного, так и более сложного типов. В этой связи в первую очередь необходимо упомянуть работы И.А.Актерера и А.Е.Бориска [1,2] и исследования групп А.М.Коссекина (А.М.Хуссекина), Б.А.Иванова, А.С.Ковалев, М.М.Богдан, И.М.Байдыкина (Б.И.Ереминского) (В.М.Еленской), Н.И.Кирова, Д.Г.Кулагин и др.). Мы позволим себе не приводить ссылок на многочисленные публикации упомянутых авторов, отсылая читателя за ними, а также за более поздней историей вопроса, к обзору А.М.Коссекина [22]. Из работ, построенных историей вопроса, к обзору А.М.Коссекина [22]. Из работ, которые в той мере, в какой это было возможно в оптимальный период, использовали метод обратной задачи, помимо "же упомянутойся" 1979 года Л.А.Тахтаджяна, Е.К.Судникова и А.Е.Бориска, следует от特别ть работы по конечнозонному интегрированию уравнений Л-Л, выполненные Н.Н.Фоголюбовым (мл.) и А.К.Прикаритским [12] (XX^2 -случай), И.В.Чередником [26] и Е.Лейтом, М.Данско, М.Каплером и Т.Миши [30] (XY -случай). Очень интересно статья Ч.Д.Богдана и Л.С.Ковалева [11], в которой по мотиву Хироты строится N -согласительное решение уравнения Л-Л в случае полной антагонистики, мы также относим к этому кругу работ, хотя сами ее авторы и проголосовали за вакуум, не-

оправдывая) метод Хироты метод обратной задачи.

Коренное эффективизацию привнесено методом обратной задачи к уравнению Л-Л произошло в 1982 году после того, как А.В.Макаров [36] генио спроектировал математическую схему Рикса, аспирантура которой адекватна структуре $U-V$ – пары для XY^2 -уравнения Л-Л. Результат не замедлил сказаться: в работах А.Э.Макарова [36] и Д.Л.Родина [37] были разработаны образом описаны многочисленные решения уравнения (0.1) в полностью антигипотоническом случае, а А.И.Бобинко [9] и А.Б.Борисков [13] предложены "программы одевания" для этого уравнения, позволяющие по известным решениям строить новые. Сдвиги произошли и в алгеброгеометрическом (конечноэлементном) интегрировании уравнения (0.1): авторам настоящей работы удалось показать, в XX^2 -случае уравнение (0.1) в схему Кирхгофа и довести конечно-элементное интегрирование этого уравнения до получения новых формул в тета-функциях [8], а двум из авторов – осуществить аналитичную программу для случая полной антагонистики [23], эффективизованную тем самым, соответственно результаты работ [12] и [26]. Подводя итог вышесказанному, можно констатировать, что в настоящий момент в теории уравнения Л-Л (0.1) существует схема, позволяющая регулярам образом как строить все разные известные, так и предъявлять новые, существенно отличающиеся от ранее известных, точные решения и исследовать волновозникущие эффекты, связанные с их взаимодействием.

Цель настоящей работы – дать подробное описание упомянутой схемы на примере уравнения Л-Л в случае односторонней антагонистики. Мы пытаемся адресовать нашу статью специалистам по теории ферромагнетизма, но предполагаем при этом глубокого энтузиазма читателя с целью метода обратной задачи и стараемся упомянуть как можно больше информации конкретных результатов, физически интересных частных случаев и эффектов, изложенных на разрывчатом науке подходе. Это намерение в существенном определяло структуру самой

статья. В первых двух параграфах заключения "ХХ основы схем - формулы" и обсуждается "обобщенная матрично-л.л. задача Рунге", определяющая $\chi\chi_2$ -уравнение л.л. При этом мы, хотя и отыскиваемся от упоминавшей выше работы А.В.Михайлова [36], используем, однако, лестничную формулу верста сведения интегрированного уравнения к задаче Рунге. Эта верста изложена нами из работ М.Ландера, Т.Мика и К.Уено [33], [34] и оказывается наиболее удобной для развития на ее основе в следующих параграфах всех основных конструкций нашей схемы. Компьютерный аппарат первых двух параграфов вполне элементарен: мы, практически, пользуемся лишь простейшими приемами линейной алгебры и комплексного анализа (алгебра матриц, разности 2x2 и теорема Лу-вали). Не выходя за рамки этого аппарата, в следующих трех параграфах развивается процедура решения для $\chi\chi_2$ -уравнения л.л. с одновре- менным ее применением к построению, классификации и описанию реали- ческих солитонных решений. Необходимо подчеркнуть, что хотя мы, по-видимому, и получаем здесь новых результатов, однако в методи- логическом плане выполнение нам формулой обладает рядом преимуществ по сравнению с ранее известными представлениями для точных решений уравнения л.л. В частности, все полученные нами ответы современно симметричны по степени языности и компактности в отображении компонент вектора S . Пареметризуются они формулой (см. § 4) тождеством комплек- сной плоскости (спектром соответствующей линейной задачи), на кото- рое наложен языка слабые ограничения. Последнее обстоятельство позволяет эффективно изучать различные предельные переходы в конст- рукциях нам схем-л.л. В § 5 демонстрируются возможности нашего математика в задачах описания эффектов взаимодействия друг с другом раз-личных элементарных решений. Здесь наряду с довольно простыми про-цессами взаимодействия двух солитонов мы описываем и такое явление, как прохождение солитона через доменную стеницу.

Существенно новым типом решения $\chi\chi_2$ -уравнения л.л. поставша-

ни §§ 6-9. Здесь реализации основной абстрактной теоремы § 1 про-водятся и обсуждаются "обобщенная матрично-л.л. задача Рунге", опре-деляющая $\chi\chi_2$ -уравнение л.л. При этом мы, хотя и отыскиваемся от упоминавшей выше работы А.В.Михайлова [36], используем, однако, лестничную формулу верста сведения интегрированного уравнения к задаче Рун- ге. Эта верста изложена нами из работ М.Ландера, Т.Мика и К.Уено [33], [34] и оказывается наиболее удобной для развития на ее основе в следующих параграфах всех основных конструкций нашей схемы. Ком-пьютерный аппарат первых двух параграфов вполне элементарен: мы, практиче-ски, пользуемся лишь простейшими приемами линейной алгебры и комплексного анализа (алгебра матриц, разности 2x2 и теорема Лу-вали). Не выходя за рамки этого аппарата, в следующих трех параграфах разрабатывается процедура решения для $\chi\chi_2$ -уравнения л.л. с одновре-менным ее применением к построению, классификации и описанию реали-ческих солитонных решений. Необходимо подчеркнуть, что хотя мы, по-видимому, и получаем здесь новых результатов, однако в методи-логическом плане выполнение нам формулой обладает рядом преимуществ по сравнению с ранее известными представлениями для точных решений уравнения л.л. В частности, все полученные нами ответы современно симметричны по степени языности и компактности в отображении компонент вектора S . Пареметризуются они формулой (см. § 4) тождеством комплек-сной плоскости (спектром соответствующей линейной задачи), на кото-ре наложен языка слабые ограничения. Последнее обстоятельство позволяет эффективно изучать различные предельные переходы в конст-рукциях нам схем-л.л. В § 5 демонстрируются возможности нашего математика в задачах описания эффектов взаимодействия друг с другом раз-личных элементарных решений. Здесь наряду с довольно простыми про-цессами взаимодействия двух солитонов мы описываем и такое явление, как прохождение солитона через доменную стеницу.

Существенно новым типом решения $\chi\chi_2$ -уравнения л.л. поставша-

места случаев ангастронии "четкая плоскость", мы строим многослойные формулы для решения схемы "двукратная доменная структура" и определяем фактор вкладоместности одной двукратной доменной структуры с квадратной зоной.

В § II будет показано, что решение качественно более сложного с точки зрения метода обратной задачи $\chi\chi_2^2$ -уравнения Л-Л также может быть построено в рамках того же метода, что и $\chi\chi_2^2$ -уравнение Л-Л, исследованного в предыдущих параграфах. Материал § II основан на работах [9, 10, 29]. Способ получения формул для алгебро-геометрических (коэффициентных) решений основан на логарифмическом методе [17] алгебро-геометрии, поэтому, упрощая формулировку выше было решено писать проприети, а не союз письмами, принести только существенные результаты, оставив за подробными доказательствами к переписанным выше работам.

Позвольте я кратко подчеркнуть, отмечая следующее. Как мы надеемся показать, разинамаем выше на основе метода обратной задачи схема есть наиболее адекватный способ вычисления, классификации и исследование точных решений уравнения Л-Л. В последние времена интересенному исследованию подвергается аналитическое уравнение Л-Л драматической уравнения для замкнутенности антипериодического типа, также допускающие, как показано в работе И.В.Баркстада и Б.Л.Ильина [4], решения солитонного типа. Было бы весьма замечательно, по мнению авторов, вполне реально исследовать эти уравнения способом, предложенным в настоящей работе. Разумеется, для этого необходимо следить гипотез - придавать соответствующую $\chi\chi_2^2$ -параметру.

В заключение авторы приносят свою искреннюю благодарность В.Г.Баркстаду, чей интерес к настоящей работе существенно стимулировал ее написание.

§ I. ОСНОВНАЯ ТЕОРЕМА

$\chi\chi_2^2$ -уравнение Л-Л ($\chi_1 = \chi_2$, без потери общности можно

$$\text{положить } J = \text{diag}(\alpha, \alpha, \varepsilon), \\ S_i = [\bar{S}_i \times \bar{S}_{xx}] + [\bar{S}_i \times J \bar{S}_i], J = \text{diag}(\alpha, \alpha, \varepsilon) \quad (1.1)$$

является условием совместности

$$U_t - V_{xx} + [U, V] = 0 \quad (1.2)$$

пары линейных дифференциальных уравнений

$$\begin{aligned} \psi_x &= U \psi, & \psi_t &= V \psi, \\ \text{где } U &\text{ и } V & \text{ являются выражениями} \end{aligned} \quad (1.3)$$

$$U(\lambda) = -i \sum_{d=1}^3 S_d w_d \delta_d, \quad (1.4)$$

$$V(\lambda) = 2i \sum_{d=1}^3 S_d w_d \psi_d^{-1} \bar{\zeta}_d - i \sum_{d=1}^3 [S_d S_{dd}] \psi_d \delta_d, \quad (1.5)$$

$$\omega_1 = \omega_2 = \sqrt{\lambda^2 - \alpha^2}, \quad \omega_3 = \lambda, \quad \alpha = i\sqrt{\varepsilon}/4. \quad (1.6)$$

Если $\varepsilon > 0$, то мы имеем анализируемую теорию си лягкого взаимодействия, при $\varepsilon < 0$ — анализируемую типу лягкой плоскости намагничивания. Оба случая исследуются совершенно аналогично. Пара (1.4) есть простое выражение $U-V$ пары Склятина — Бордака $\chi\chi_2^2$ -уравнения. Л-Л для случая $\chi_1 = \chi_2$. Заметим, что в рассматриваемом случае спектральный параметр λ меняется не на комплексной плоскости, а на реальной плоскости λ — двудольной умноженной поверхности функции $\sqrt{\lambda^2 - \alpha^2}$. Конечно, можно было бы произвести соответствующую замену параметра λ так, чтобы U и V стали бы радиационными функциями спектрального параметра, но мы этого делать не будем, так как в выбранной нам универсальной формулировке (1.5) соотношения $\omega_d^2 - \omega_d^2 = -(1 - |\rho|)/4$ очень естественно учитываются ведущими параметрами (1.4).

$$\begin{aligned} \bar{\zeta}_3 U(\lambda) \bar{\zeta}_3 &= U(\lambda), & \bar{\zeta}_3 V(\lambda) \bar{\zeta}_3 &= V(\lambda), \\ \text{где через } \lambda \mapsto \lambda^* &\text{ обозначена инволюция, изображающая листы поверхности} \end{aligned} \quad (1.6)$$

ности $\Gamma(\sqrt{(\lambda-\alpha)^2 - \alpha^2}) = -\sqrt{\lambda^2 - \alpha^2}$. Такая регулировка, связанная с перестановкой листов, легко учитывается при построении конечнозонных решений (см. § 6).

$\hat{\Psi}(\lambda)$ -функция является центральным объектом при построении точных формул для решений нелинейных уравнений, интегрируемых методом обратной задачи. Первичноально ясно, что она строится конструктивно по своим аналитическим свойствам, которые следуют из вида $V-V$ -перехода, а затем уже по ней строится формула для решения нелинейных уравнений. Сформулируем так называемую обобщенную задачу Рикана, отвечающую уравнению (1.1).

Матримониальная (размерности $2x2$) функция $\hat{\Psi}(\lambda)$ определена на Γ и обладает следующими свойствами.

Точки $\infty, 1, 2, \frac{1}{\lambda}$ — точки существенной особенности функции $\hat{\Psi}(\lambda)$, которых в окрестности этих точек имеет дифференцируемый по ∞, t существенный особенность вида

$$\hat{\Psi}(\lambda, x, t) = \left(\sum_{j=0}^m \Phi(x, t) \lambda^{-j} \right) \exp(-i\beta x \lambda + 2i\beta t \lambda^2) C \lambda^m, \quad (1.7)$$

$\det \Phi(x, t) \neq 0$, C — обратима и не зависит от x, t .

$\hat{\Psi}(\lambda)$ имеет также так называемые "регулярные особенности" в точках a_1, \dots, a_N , т.е. $\hat{\Psi}(\lambda)$ гомоморфна и обратима на $\Gamma \setminus \{a_1, \dots, a_N\}$, кроме точек a_1, \dots, a_N , но зависимых от ∞, t , в окрестности которых справедливо следующее представление:

$$\hat{\Psi}(\lambda) = \hat{\Psi}(\lambda) \times \prod_{j=1}^N \left(\frac{1}{\lambda - a_j}, j=1, \dots, N \right), \quad (1.8)$$

где \prod_j — диагональная, а $\frac{1}{\lambda - a_j}$ — обратимая постоянная матрица (не зависит от x, t); $\hat{\Psi}(\lambda)$ гомоморфна и обратима в окрестности a_1 , K — логарифмический член при $t=0$ в окрестности точки a_1 , если $a_1 \neq \pm i$,

и) $\infty^{1/2}$ — для бесконечно удаленной точки Γ в ее стандартной параметризации двухлистом выходит в бесконечности λ

- 10 -

то $K = \lambda - a_1$, если же $a_1 = \pm i$, то $K = \sqrt{\lambda^2 - a^2}$. Отметим, что в случае, когда Γ — радиальная кривая матрицы, функция $\hat{\Psi}(\lambda)$ неоднозначна на Γ . В этом случае точка a_1 является точкой ветвления контура Γ на Γ функции $\hat{\Psi}$ односторонне, т.е. на этой ветвлениях свойства: при выходе из Γ вокруг точки a_1 в плюсматричном направлении функция $\hat{\Psi}(\lambda)$ доминируется справа на матрице монодромии.

МНК

$$\hat{\Psi}(\lambda) \rightarrow \hat{\Psi}(\lambda) M_j, M_j = j^{-1} \exp(i\pi t) \prod_{i=1}^n \zeta_i. \quad (1.9)$$

Пусть также имеются контуры $\mathcal{L}_i \subset \Gamma$, $i=1, \dots, M$ и матрицы $G_i(\lambda)$, не зависящие от x, t . Вход контуров \mathcal{L}_i матрицы $\hat{\Psi}_+(\lambda)$ и $\hat{\Psi}_-(\lambda)$ (это граничные значения $\hat{\Psi}$ с различными сторонами \mathcal{L}_i) связан линейными соотношениями

$$\hat{\Psi}_-(\lambda) = \hat{\Psi}_+(\lambda) G_i(\lambda) \Big|_{\lambda \in \mathcal{L}_i}. \quad (1.10)$$

Справедливо следующее ограничение

$$\sigma_3 \hat{\Psi}(\lambda) = \hat{\Psi}(\lambda) \sigma(\lambda), \quad (1.11)$$

где $\sigma(\lambda)$ не зависит от x, t , и выполнено следующее условие нормировки:

$$\frac{\partial}{\partial x} \ln \hat{\Psi}_{11}(\lambda) = \frac{\partial}{\partial x} \ln \hat{\Psi}^2(-\lambda), \quad (1.12)$$

$$\frac{\partial}{\partial t} \ln \hat{\Psi}_{11}(\lambda) = \frac{\partial}{\partial t} \ln \hat{\Psi}_{22}(-\lambda). \quad (1.12)$$

Теорема I. Пусть построена функция $\hat{\Psi}$, удовлетворяющая условиям (1.7)-(1.12), тогда с точностью до слагаемых, пропорциональных единичной матрице, логарифмические производные $\hat{\Psi}_x, \hat{\Psi}_t, \hat{\Psi}_{xt}$ и $\hat{\Psi}_{tt}$ в окрестности $\lambda=0$, где

* Заметим, что условия (1.12) при всех i, k, j, l и замене $\lambda \rightarrow -\lambda$ —

также необходимы условия удовлетворения матричной функции $\hat{\Psi}$ симметрии, так (1.4).

также (1.3)-(1.4).

$$\sum_{\alpha=1}^3 S_\alpha \sigma_\alpha = \Phi_0 \sigma_3 \Phi_0^{-1},$$

т.е. если

из условия нормировки (1.12) следует $A(x-t) = B(x-t) = 0$, и, наконец,

$$\Phi_0 = \begin{pmatrix} A & B \\ C & D \end{pmatrix}, \quad (1.14)$$

$$S_1 = \frac{CD-AB}{AD-BC}, \quad S_2 = -i \frac{CD+AB}{AD-BC}, \quad S_3 = \frac{AD+BC}{AD-BC}. \quad (1.15)$$

Коэффициенты $S_1(x,t)$, определяемые (1.13)-(1.15), удовлетворяют соотношением $\sum_{\alpha=1}^3 S_{\alpha,0} = 1$ и образуют решение $\chi \chi \bar{\chi}$ -уравнения Л-Л (1.1).

Причем Л-Л заметил, что интегральные представления в (1.6)-(1.10) являются \mathcal{U} -функциями. Причем Л-Л заметил, что интегральные представления от самой \mathcal{U} -функции, опознавшие $\bar{\chi}$ начали уда на Γ . Далее, они не имеет соединять \mathcal{U} -функции в точках a_i .

$$\mathcal{U}_x \mathcal{U}_x^{-1} = \mathcal{U}_x \kappa \bar{\chi} \int_j^1 \int_j^1 \kappa^{-1} \mathcal{U}_x^{-1} = \mathcal{U}_x \mathcal{U}_x^{-1} \quad |_{\lambda \in \mathfrak{L}},$$

и во контурах \mathfrak{L} :

$$\mathcal{U}_+ \mathcal{U}_+^{-1} = \mathcal{U}_- \mathcal{U}_-^{-1} \quad |_{\lambda \in \mathfrak{L}}.$$

Также обратим, на него асимптотики (1.7) в фикта отсутствия особенности на $\Gamma \setminus \{t\}$ следуют следующие виды для $\mathcal{U}_x \mathcal{U}_x^{-1}$ и $\mathcal{U}_t \mathcal{U}_t^{-1}$:

$$\mathcal{U}_x \mathcal{U}_x^{-1} = \lambda A_1 + \sqrt{\lambda - \alpha^2} A_2 + A_3, \quad \mathcal{U}_t \mathcal{U}_t^{-1} = \lambda^2 B_1 + \sqrt{\lambda^2 - \alpha^2} B_2 + \lambda B_3 + \sqrt{\lambda^2 - \alpha^2} B_4 + B_5, \quad S_p(A_1 + A_2) = S_p(B_3 + B_4) = 0,$$

где A_1, B_1 — матрицы, зависящие только от x и t . Далее, из результатов (1.11) следует, что A_1, A_3, B_1, B_3, B_5 диагональны, а A_2, B_2, B_4 антидиагональны. Таким образом,

$$\mathcal{U}_x \mathcal{U}_x^{-1} = -i \sum_{d=1}^3 S_d \omega_d \bar{\omega}_d + A(x-t) \sigma_3 + d(x-t) I, \quad \mathcal{U}_t \mathcal{U}_t^{-1} = 2i \sum_d P_d \omega_d \bar{\omega}_d \omega_d^{-1} \bar{\omega}_d + i \sum_d Q_d \omega_d \bar{\omega}_d +$$

$$(1.13)$$

$$+ B(x-t) \sigma_3 + \beta(x-t) I.$$

Из условия нормировки (1.12) следует $A(x-t) = B(x-t) = 0$, и, наконец,

построим асимптотическое разложение (1.7) в (1.3) и приразмечены приложении к стационарных λ , убывающих в справедливости формулы (1.13) и равенств $P_d = S_d$, $Q_d = -[S_d \times S_{d-1}]$ теорема доказана.

Таким образом, \mathcal{U} -функция (α , значит, и решение $\chi \chi \bar{\chi}$ -уравнения Л-Л) определяется следующими линиями обобщенной задачи Римана

— “диагональные расщепления”:

$$\Delta = \{q_j, T_j, j_1, j_2, \dots, N \text{ (см. (1.8))}; G_i(\lambda), \lambda \in \mathfrak{L}, i=1, \dots, M\}. \quad (1.16)$$

В дальнейшем мы построим точное выражение для \mathcal{U} -функции с некоторыми конкретными данными Λ , μ , таким образом, построим реше-

ние уравнения (1.1).

$$\mathcal{U}_2 \overline{\mathcal{U}(\bar{\lambda})} = \mathcal{U}(\lambda) M(\lambda), \quad (1.17)$$

где антиавтоморфное сопряжение на Γ задается естественным образом

$$(\lambda, \sqrt{\lambda^2 - \alpha^2}) \rightarrow (\bar{\lambda}, \sqrt{\bar{\lambda}^2 - \alpha^2}),$$

а $M(\lambda)$ — матрическая функция, не зависящая от λ .

Решение уравнения (1.1), определяемое выражениями (1.13)-(1.15), будет вещественным.

Замечание 1. Пусть $\mathcal{U}(\lambda)$ удовлетворяет условию (1.7)-(1.12)

и определяет решение $\bar{S}(x,t)$, тогда функция

$$\mathcal{U}_{\chi}(\lambda) = \begin{pmatrix} \chi & 0 \\ 0 & \chi^{-1} \end{pmatrix} \mathcal{U}(\lambda), \quad \chi = \text{const} \in \mathbb{C} \quad (1.18)$$

также удовлетворяет обобщенной задаче Римана. Соответствующее обще-

ное решение \bar{S} уравнения (1.1) отличается от \bar{S} (расматривается только

ко вещественные решения, $|\chi| = 1$) простым поворотом осей I и II в

плюсности этих осей. Очевидно, что физически решения \vec{S} и \vec{S}_t эквивалентны. Далее, функция $\varPsi(\lambda) = \varphi(x, t)\varPhi(\lambda)$ (где $\varphi(x, t)$ - произвольная скалярная функция x, t) также удовлетворяет задаче Рюдина. Соответствующие решения уравнения (1.1) совпадают $\vec{S}(\varphi(x, t)) = \vec{S}(x, t)$.

Замечание 3. Существует некоторое однородные ограничения на матрицы $\sigma(\lambda)$ и $M(\lambda)$, исходные в определении редукционных тождеств (1.1) и (1.17). В частности, применив к $\varPsi(\lambda)$ последовательно два преобразования (1.1), получим к соответствию

$$\sigma(\lambda)\sigma(\lambda^*) \equiv I; \quad (1.19)$$

применив к $\varPsi(\lambda)$ последовательно два преобразования (1.17), получим к соответствию

$$M(\lambda)\overline{M(\lambda)} \equiv -I, \quad (1.20)$$

а применяв к $\varPsi(\lambda)$ последовательно преобразования (1.1) и (1.17) - к соответствию

$$\sigma(\lambda)M(\lambda^*) + M(\lambda)\overline{\sigma(\lambda)} = 0. \quad (1.21)$$

§ 2. ВНЕШНЕЕ ПОЛЕ

Хорошо известно, что однородное внешнее поле, направленное по оси антитропии (в нашем случае ось 3), не нарушает интегрируемости системы. В этом параграфе мы построим некоторое обобщение задачи Рюдина, отвечающей уравнению (1.1), структурированной в § 1. Уравнение (1.1) с внешним полем, направленным по оси антитропии, будет получаться в предыдущем смысле.

Теорема 2. Пусть функция $\varPsi(\lambda, x, t)$ удовлетворяет свойствам

(1.7)-(1.11) и условию нормировки

$$\frac{\partial}{\partial x} \ln \varPsi_{11}(\alpha) = \frac{\partial}{\partial x} \ln \varPsi_{22}(-\alpha) + i \frac{\partial}{\partial x} f(x, t), \quad (2.1)$$

$\frac{\partial}{\partial t} \ln \varPsi_{11}(\alpha) = \frac{\partial}{\partial t} \ln \varPsi_{22}(-\alpha) + i \frac{\partial}{\partial t} f(x, t)$

для каких-либо i, j, k, l .

Тогда логарифмические производные $\frac{\partial}{\partial x} \varPsi_{11}^{-1}$ и $\frac{\partial}{\partial x} \varPsi_{22}^{-1}$ с точностью до слагаемых, пропорциональных единичной матрице, равны соответственно

$$\varPsi_{11} = U + \frac{i}{2} \frac{\sigma_3}{\sigma_0} \frac{\partial^2}{\partial x^2}, \quad \varPsi_{22} = V + \frac{i}{2} \frac{\sigma_3}{\sigma_0} \frac{\partial^2}{\partial t^2}, \quad (2.2)$$

где U и V - матрицы (1.4). Уравнение Элхарова - Шабата (1.2)

$$\vec{S}_t = [\vec{S} \times \vec{S}_{xx}] + [\vec{S} \times \vec{J} \vec{S}] + [\vec{S} \times \vec{H}] - 2\vec{S}_x \vec{S}_{xxt}, \quad (2.2)$$

для \vec{U}_t и \vec{V}_t приводят к уравнению

$$\tilde{S}_t = \text{diag}(0, 0, \varepsilon + \left(\frac{\partial f}{\partial x}\right)^2), \quad \vec{H} = (0, 0, \frac{\partial f}{\partial t}).$$

Частный случай уравнения (2.2) является физически интересным, он описывает полиномиальную фурье-спектретику во внешнем однородном магнитном поле $H(t)$, производя зависимость от t , то равен

следствие 1. Если $f(x, t) = \int^t H(s)ds$ зависит только от t , то задача Рюдина отвечает уравнению

$$\vec{S}_t = [\vec{S} \times \vec{S}_{xx}] + [\vec{S} \times \vec{J} \vec{S}] + [\vec{S} \times \vec{H}], \quad \vec{H} = (0, 0, H(t)). \quad (2.3)$$

Из садебных I вытекает алгоритмическая процедура построения решения уравнения (2.3) по решению уравнения (1.1).

Следствие 2. Если $\vec{S}(x, t) = (S_x, S_y, S_z)$ - решение уравнения I-Г (1.1) выражается через A, B, C, D формулами (1.15), то величины $\hat{A}_F = A \exp(\int^t H(s)ds), B_F = B \exp(\int^t H(s)ds), C_F = C, D_F = D$ по тем же формулам (1.15) определяют $\vec{S}_t(x, t)$, являющиеся решениями уравнения (2.3).

Разумеется, этот чисто алгебраический факт можно проверить и непосредственно. Очевидно, что решение \vec{S}_t будет вещественным, если вещественные \vec{S} и $H(t)$.

§ 3. ПРОПРИЕТИЯ ОДНОГО СИСТАМЫ

Вам ясно будет этот параметр с показателем одного велико-

мототалмого утверждения:

Лемма 1. (Миша - Дзандбо - Уено [33]). Пусть $\tilde{\Psi}(\lambda) = (\text{дискриминант}, \text{тамошняя в окрестности некоторой точки } \lambda = \alpha)$, не-
деляется простым кубом $\det \tilde{\Psi}(\lambda)$. Тогда для матрицы $\tilde{\Psi}(\lambda)$ в окрест-
ности точки α справедливо представление типа (1.8) с $T = \begin{pmatrix} 1 & 0 \\ 0 & 0 \end{pmatrix}$.

При этом в качестве C можно взять любую обратную матрицу, но та-
ку, что первый столбец матрицы C^{-1} принадлежит $\ker \tilde{\Psi}'(\alpha)$.

Доказательство. Пусть $C \in T$ такие, как описано в лемме. Ут-
верждение леммы эквивалентно голоморфности и матричной обратности

$$\tilde{\Psi}(\lambda) \equiv \tilde{\Psi}(\lambda) C^{-1} \begin{pmatrix} 1 & 0 \\ 0 & 0 \end{pmatrix}$$

в некоторой окрестности точки α . Положим $C^{-1} = (X, Y)$. Тогда

$$\begin{aligned} \tilde{\Psi}(\lambda) &= \tilde{\Psi}(\lambda)(X, Y) \begin{pmatrix} (\lambda - \alpha)^{-1} & 0 \\ 0 & 1 \end{pmatrix} = \left(\frac{1}{\lambda - \alpha} \tilde{\Psi}'(\alpha) X + \tilde{\Psi}'(\alpha) X (\lambda - \alpha)^{-1}, \tilde{\Psi}(\alpha) Y + (\lambda - \alpha) \tilde{\Psi}'(\alpha) Y \right)^{-1} = \\ &= \left(\frac{1}{\lambda - \alpha} \tilde{\Psi}'(\alpha) X + \tilde{\Psi}'(\alpha) X (\lambda - \alpha)^{-1}, \tilde{\Psi}(\alpha) Y + (\lambda - \alpha) \tilde{\Psi}'(\alpha) Y \right)^{-1} = \\ &= \tilde{\Psi}'(\alpha) X = 0 \quad \forall \lambda \in \mathbb{C} \setminus \{ \alpha \}. \end{aligned}$$

Пусть теперь $\tilde{\Psi}_o(\lambda, x, t) = \tilde{\Psi}(\lambda) - \tilde{\Psi}'(\alpha)$ - голоморфная в ок-
рестности точки α . После установления голоморфности функции
 $\tilde{\Psi}_o(\lambda)$ ее матричная обратность следует из простоты ядра
 $\det \tilde{\Psi}(\lambda)$ в точке α . Доказано.

Пусть теперь $\tilde{\Psi}_o(\lambda, x, t)$ - функция, удовлетворяющая всем ус-
ловиям теоремы 1 и приводящая к некоторому решению $\tilde{\Sigma}(\lambda, x, t)$
уравнения (1.7)-(1.12). Откладывая $\tilde{\Psi}_o(\lambda, x, t)$ линейное обобщенное зеркало Риэмана обоз-
начим через $\Lambda_o = \{ \tilde{\alpha}_j^o, \tilde{\beta}_j^o, \tilde{\gamma}_j^o, \tilde{\delta}_j^o, \tilde{\sigma}_j^o \}_{j=1}^m$ и хотим по функции $\tilde{\Psi}_o$
аналогичным образом построить новую функцию $\tilde{\Psi}(\lambda, x, t)$, удовлетворяющую
также условиям (1.7)-(1.12), но о новом набором ядрах $\Lambda = \Lambda_o \oplus \tilde{\Lambda}$.
Нашему по известному решению $\tilde{\Sigma}(\lambda, x, t)$ уравнения I-II построить
его ядро можно. Будем функцию $\tilde{\Psi}_o$ искать в виде

$$\tilde{\Psi}_o(\lambda, x, t) = f_o(\lambda, x, t) \tilde{\Sigma}(\lambda, x, t), \quad (3.1)$$

где $f_o = (2, 2)$ -матричная функция, мероморфная на Γ , с простыми
полюсами в точках $\infty^{1, 2}$ в качестве единственных особенности. По-
требует от f_o выполнение соотношения

$$G_3 f_o(\lambda^*) \tilde{\Sigma}_3 = f_o(\lambda). \quad (3.2)$$

Равенство (3.2) вместе с указанной характеристической особенностью функции $f_o(\lambda)$ приводят к следующему представлению для нее:

$$f_o(\lambda) = \sum_{\alpha \in \Lambda} q_{\alpha} f_o(\lambda) \tilde{\Sigma}_{\alpha} + (q_o(\lambda + p) I + p \tilde{\Sigma}_3), \quad (3.3)$$

где сделано предположение $q_{\alpha}(x, t) = p_a(x, t)$ подходит еще определение.
Для их функции зеркалами пары точек $\lambda_1, \lambda_2 \notin \{ \alpha_1^o \cup \alpha_2^o \}$

$$\begin{cases} \frac{d}{d\lambda} f_o(\lambda) \begin{pmatrix} 1 \\ \lambda - \alpha \end{pmatrix} = 0 & j = 1, 2 \\ \beta_3 = -\alpha_0^o. \end{cases} \quad (3.4)$$

Соединивши (3.4) представление собой линейную однородную алгебра-
ическую систему из 5 уравнений на 6 коэффициентов (выражения q_{α} и p_{α}).
Решив эту систему, находим матрическое ядро функции $q_{\alpha}(x, t)$ и $p_{\alpha}(x, t)$,

с помощью коэффициентов которого можно выразить ядро f_o . Этот процесс, в
силу замены в (3.4) ядра на ядро зеркала, называется зеркальным преобразованием. Это и есть то, что мы и хотели доказать.

Теорема 3. Функция $\tilde{\Psi}(\lambda, x, t)$, определяемая формулами (3.1),
(3.3) и (3.4), удовлетворяет всем условиям теоремы I. Отвечающие ей
данные обобщенного зеркала Риэмана отличаются от исходных данных Δ_o
уравнением за конечное число регулярных особых точек:

$$\{ \alpha_j^o \} \rightarrow \{ \alpha_j^o \} \oplus \{ \lambda_1, \lambda_2, \lambda_1^c, \lambda_2^c \}$$

и следуют методике $m^+ \rightarrow m^+$ на одинаково: $m^+ \rightarrow m^+$. Соответствующее
(компактное!) решение $\tilde{\Sigma}(\lambda, x, t)$ уравнения I-II сведено с затратой
решения $\tilde{\Sigma}_o(x, t)$ на генератор

$$S = \text{две матрицы } \sum_{\alpha \in \Lambda} S_{\alpha} \tilde{\Sigma}_{\alpha}.$$

$$S = Q S_0 Q^{-1}, \quad (3.5)$$

где

$$Q = \sum_{\alpha=1}^3 q_\alpha \sigma_\alpha + q_0 I.$$

Доказательству теоремы 3 предшествует доказательство следующей леммы.

Лемма 2. Нули функции $\det f(\lambda)$ как функции на Γ прости и расположены в точках $\lambda_1, \lambda_2, \lambda_1^\tau, \lambda_2^\tau$. Во всех этих точках для функции $\Psi(\lambda)$ справедливо представление вида (1.3) с независимыми от $x + t$ матрицами T и C .

Доказательство. В силу (3.3) функция $\det f(\lambda)$ имеет на Γ два полюса второго порядка в точках $\infty^{1,2}$. Поэтому у нее должно быть четыре кулая. Первые два векторных равенства в (3.4) говорят о том, что среди этих кулаев обозначены точки λ_1 и λ_2 . То, что наряду с точками λ_1, λ_2 кулем $\det f(\lambda)$ обязательно будут и точки $\lambda_1^\tau, \lambda_2^\tau$, следует из редукционного тождества (3.2). Рассмотрим, по-следнее утверждение леммы есть непосредственное следствие леммы 1 з того факта, что из (3.2) вытекает справедливость для $\Psi(\lambda)$ – редукционного равенства (1.11) с той же матрицей $\sigma_0(\lambda)$, что и для затарированной функции $\Psi_0^\tau(\lambda)$. Матрицы T и C , отвечающие точкам $\lambda_1, \lambda_2, \lambda_1^\tau, \lambda_2^\tau$, суть следующие:

$$\begin{aligned} \lambda_1: T &= \begin{pmatrix} 1 & 0 \\ 0 & 0 \end{pmatrix}; & \lambda_1^\tau: T &= \begin{pmatrix} 1 & 0 \\ 0 & 0 \end{pmatrix}; \\ C &= \begin{pmatrix} 1 & 0 \\ -A_1 & 1 \end{pmatrix} \sigma_0. \end{aligned}$$

На этом, доказательство леммы 2 заканчивается.

Доказательство леммы 3. В силу леммы 2 функция $\xi(\lambda)$ во всех "старых" регулярных особых точках Ω_0^τ голоморфна и матрично-обратима. Поэтому умножение функции $\Psi_0^\tau(\lambda)$ с обратной функцией $f(\lambda)$ не приведет ее к нулю в точках Ω_0^τ – для функции $\Psi_0^\tau(\lambda)$ в этих точ-

каках остается справедливым соотношение (1.8) с теми же матрицами T° и C° .

То же самое относится и к условию сопряжения на "старых" контурах \mathcal{L}_j^τ , в то время как новых линий разреза возникнуть, очевидно, не может. Далее асимптотическое условие (1.7) выполняется для функции $\Psi(\lambda)$ с матрицей $T = \text{diag} \begin{pmatrix} 1 & 1 & 1 & 1 \end{pmatrix}$, в, так как отмечалось при доказательстве леммы 2, редукционное тождество (1.11) – с матрицей $\sigma(\lambda) = \sigma_0(\lambda)$. Единственным новым особенностью функции $\Psi(\lambda)$ является куля ее детерминанта в точках $\lambda_1, \lambda_1^\tau, \lambda_2, \lambda_2^\tau$.

Но в силу леммы 2 в этих точках гарантировано кумаре представлением

(1.8) с независимыми от $x + t$ матрицами T и C . Тем самым все условия теоремы 1 для функции $\Psi(\lambda)$ проверены, кроме последнего – условия нормировки (1.12). Покажем, что это выполнение следует из следующего равенства системы (3.4). В самом деле, так как для затарированной функции $\Psi_0^\tau(x, t, \lambda)$ условия (1.12) выполнены, то при некотором $k, l \in \mathbb{Z}$ верны равенства

$$\begin{aligned} (\Psi_0^\tau)_{1k}(x) &= d \left[\frac{\Psi_0^\tau}{2\ell} \right]_{2\ell}(-\alpha), \quad d_{\infty} = 0, \\ (\Psi_0^\tau)_{2l}(x) &= \beta \left[\frac{\Psi_0^\tau}{2\ell} \right]_{2\ell}(-\alpha), \quad \beta_{\infty} = 0. \end{aligned}$$

Матрица $\xi(\lambda)$ (при $\lambda = \pm \alpha$) имеет характеристики вид:

$$\rho_3 = -\alpha \eta,$$

затариваемо соответственно

$$\xi_{11}(\alpha) = f_{12}(-\alpha).$$

Покажем при так же $k, l \in \mathbb{Z}$, что и в (3.6), namely

$$\begin{aligned} \Psi_{1k}^\tau(x) &= \xi_{11}(\alpha) \left[\frac{\Psi_0^\tau}{2\ell} \right]_{2\ell}(\alpha) = d \xi_{11}(\alpha) \left[\frac{\Psi_0^\tau}{2\ell} \right]_{2\ell}(-\alpha) = \\ &= d \left[\xi_{22}(-\alpha) \left[\frac{\Psi_0^\tau}{2\ell} \right]_{2\ell}(-\alpha) \right] = d \left[\frac{\Psi_0^\tau}{2\ell} \right]_{2\ell}(-\alpha) \rightarrow \xi_{2k} \left[\frac{\Psi_0^\tau}{2\ell} \right]_{2\ell}(-\alpha) = \Xi_k \left[\frac{\Psi_0^\tau}{2\ell} \right]_{2\ell}(-\alpha), \end{aligned}$$

то есть, условие нормировки (1.12) для "старой" функции Ψ_0^τ выполнено.

ется при тех $\lambda \in K, \lambda \neq j, \gamma$, что и для заголовок функции Ψ_j .

На этом доказательство теоремы 3 заканчивается.

Заметим, что с учетом соотношения $P_3 = -\alpha q_0$ матрица $f(\lambda)$ может быть представлена в виде

$$f(\lambda) = D_1(\lambda)[Q + d_0 R(\lambda)]D(\lambda), \quad (3.7)$$

$$\text{где } D_1(\lambda) = \begin{pmatrix} 1 & 0 \\ 0 & \sqrt{\lambda+\alpha} \end{pmatrix}, \quad R(\lambda) = \begin{pmatrix} \frac{1}{\lambda-\alpha} & 0 \\ 0 & 1 \end{pmatrix},$$

$$D(\lambda) = \begin{pmatrix} \lambda-\alpha & 0 \\ 0 & \sqrt{\lambda^2-\alpha^2} \end{pmatrix}, \quad d_0 = P_0 + \alpha q_3$$

и лекционные равенства системы (3.4) разрешаются тогда следующим образом:

$$\left\{ QX_j = -d_0 R(\lambda_j)X_j \right\}, \quad j=1,2, \quad (3.8)$$

$$\text{где } X_j = D(\lambda_j)\Psi_j(\lambda_j)\begin{pmatrix} 1 \\ 1 \end{pmatrix}. \quad (3.9)$$

Будем считать, что две матрицы X и Y связаны соотношением $X \equiv Y$, если существует такая связывающая функция $d(x,t)$, что $X = dY$. Тогда из (3.8) для матрицы Q непосредственно устанавливается переход (3.5) от старого решения S_0 к новому решению S_1 , получаемое выше преобразование чрез заголовок функции $\Psi_j(\lambda)$ и параметры преобразования (λ_j, A_j) :

$$Q \cong V W^{-1}, \quad (3.10)$$

$$W = (\vec{X}_1, \vec{X}_2), \quad V = (R(\lambda_1) \vec{X}_1, R(\lambda_2) \vec{X}_2).$$

Как отмечалось в § 1, гравитация E в комплексном случае выражается каноническим преобразованием $S \rightarrow \begin{pmatrix} 1 & 0 \\ 0 & S^{-1} \end{pmatrix}$,

$$\bar{\Psi} \in C \setminus \{0\}.$$

Поэтому можно сказать, что, фиксируя значение A_j , мы находим не одно решение уравнения Л-Л, а целый единственный класс. Каждый представитель этого класса характеризуется своим значением параметра S_0 и описывается функцией

$$S = Q_S S_0 Q_S^{-1}, \quad Q_S = \begin{pmatrix} 1 & 0 \\ 0 & S \end{pmatrix} Q. \quad (3.11)$$

В дальнейшем нас особенно будут интересовать решения, отвечающие следующему специальному значению параметра S :

$$S = S_0 \equiv \begin{pmatrix} (\lambda_1 + \alpha)(\lambda_1 + \alpha) \\ (\lambda_2 - \alpha)(\lambda_2 - \alpha) \end{pmatrix}.$$

Для соответствующей матрицы $Q \cong Q_{S_0}$ развернутая запись представлена в виде

$$Q_{S_0} \cong \begin{pmatrix} 1 & 0 \\ 0 & S \end{pmatrix} V \sqrt{N^{-1}},$$

имеет наиболее симметричный вид

$$Q \cong \begin{pmatrix} \alpha_1 p_1(\sqrt{\lambda_2 - \alpha^2} - d_1 p_1) \sqrt{\lambda_1 - \alpha^2} & d_1 d_2 (\lambda_1 - \lambda_2) \\ d_2 p_2(\lambda_2 - \lambda_1) & \alpha_2 p_2(\sqrt{\lambda_1 - \alpha^2} - d_2 p_2) \sqrt{\lambda_2 - \alpha^2} \end{pmatrix}, \quad (3.12)$$

где явлены обозначения

$$\Psi_0(\lambda_j) \equiv \begin{pmatrix} 1 \\ p_j \end{pmatrix}, \quad j=1,2. \quad (3.13)$$

Соответствующее решение уравнения Л-Л и отвечающая ему Q_{S_0} -матрица запись

$$S = Q^0 S_0 (Q^0)^{-1}, \quad (3.14)$$

$$\Psi(\lambda) \cong D(\lambda) \begin{pmatrix} 1 & 0 \\ 0 & S \end{pmatrix} [V N^{-1} - R(\lambda)] D(\lambda) \Psi_0(\lambda). \quad (3.15)$$

Эти же формулы мы разработали описание преобразования в комплексном случае и переходами к осуществленных тех условиях на параметры (λ_j, A_j) , которые обеспечивают в преобразовании (3.12)-(3.14) сохранение вещественности вектора S .

Заметим, что для вещественности \tilde{S} достаточно доказать выполнение соотношения

$$\sigma_2 \tilde{Q}^* \sigma_2 \approx Q^*$$

В силу леммы, вещественность \tilde{S} эквивалентна выполнению равенства $\sigma_2 \tilde{S} \sigma_2 = -S$. По определению, для \tilde{S} это равенство выполняется. Поэтому из (3.16) имеем, что

$$\sigma_2 \tilde{S} \sigma_2 = \sigma_2 \tilde{Q}_2 \tilde{Q}_0 \tilde{S}_0 \sigma_2 = Q_0 \tilde{S}_0 Q_2^{-1} = -Q_0 S_0 Q^{-1} = -S.$$

Приведем теперь выполнение вещественности.

Теорема 4. Достаточное условие \tilde{S} вещественна, и, следовательно, заглавная функция $\tilde{\Psi}_0$ удовлетворяет тождеству (1.17) с некоторой матрицей M_0 . Тогда соотношение (3.16) имеет место в следующих двух случаях:

$$\begin{aligned} & a) \lim_{\lambda_j \rightarrow 0}, \lambda_1 = \lambda_2, \\ & \det(M_0(\lambda_1)\begin{pmatrix} 1 \\ \bar{A}_2 \end{pmatrix}, \begin{pmatrix} 1 \\ A_1 \end{pmatrix}) = 0, \quad (3.17) \end{aligned}$$

$$\begin{aligned} & b) \Omega = \bar{\Omega} \text{ (левая плоскость)}, \lim_{\lambda_j \rightarrow 0}, |\lambda_j| < \alpha, \\ & \det(\sigma_0(\lambda_j)M_0(\lambda_j)\begin{pmatrix} 1 \\ \bar{A}_2 \end{pmatrix}, \begin{pmatrix} 1 \\ A_1 \end{pmatrix}) = 0, \quad (3.18) \end{aligned}$$

где $\sigma_0(\lambda)$ — матрица, участливая в редукционном тождестве (1.11) для функции $\tilde{\Psi}_0$.

Доказательство. Рассмотрим случай а). Равенство (3.17) означает пропорциональность векторов $M_0(\lambda_1)\begin{pmatrix} 1 \\ \bar{A}_2 \end{pmatrix}$ и $\begin{pmatrix} 1 \\ A_1 \end{pmatrix}$. Вспомним, что $M(\lambda) M(\lambda)^* = I$, убывающий в том, что коллинеарны также и векторы $M_0(\lambda_2)\begin{pmatrix} 1 \\ \bar{A}_2 \end{pmatrix}$ и $\begin{pmatrix} 1 \\ A_2 \end{pmatrix}$:

$$\begin{aligned} M_0(\lambda_1)\begin{pmatrix} 1 \\ \bar{A}_2 \end{pmatrix} &= \sigma_0(\lambda_1) \begin{pmatrix} 1 \\ \bar{A}_2 \end{pmatrix} \Rightarrow \begin{pmatrix} 1 \\ \bar{A}_2 \end{pmatrix} = \overline{\sigma_0(\lambda_1)} \begin{pmatrix} 1 \\ \bar{A}_2 \end{pmatrix} \\ &\Rightarrow M(\lambda_2)\begin{pmatrix} 1 \\ \bar{A}_2 \end{pmatrix} = -\frac{1}{\bar{\sigma}_0(\lambda_1)} \begin{pmatrix} 1 \\ \bar{A}_2 \end{pmatrix}. \end{aligned} \quad (3.22)$$

$$\begin{aligned} \text{Положим } \sigma_2 \tilde{\Psi}_0(\lambda_2)\begin{pmatrix} 1 \\ \bar{A}_2 \end{pmatrix} &= \tilde{\Psi}_0(\lambda_1)M_0(\lambda_1)\begin{pmatrix} 1 \\ \bar{A}_2 \end{pmatrix} = \tilde{\Psi}_0(\lambda_1)\begin{pmatrix} 1 \\ A_1 \end{pmatrix}, \\ \sigma_2 \tilde{\Psi}_0(\lambda_1)\begin{pmatrix} 1 \\ \bar{A}_2 \end{pmatrix} &= \tilde{\Psi}_0(\lambda_2)M_0(\lambda_2)\begin{pmatrix} 1 \\ \bar{A}_2 \end{pmatrix} = -\frac{1}{2} \tilde{\Psi}_0(\lambda_2)\begin{pmatrix} 1 \\ A_2 \end{pmatrix}, \end{aligned} \quad (3.19)$$

$$\text{что на языке векторов } d_1, \bar{d}_1 \text{ означает}$$

$$\begin{aligned} \bar{d}_1 &= \frac{i}{2} \bar{p}_2, \quad \bar{p}_1 = -\frac{i}{2} d_2, \\ \bar{d}_2 &= -i \bar{z} \bar{p}_1, \quad \bar{p}_2 = i z d_1. \end{aligned} \quad (3.20)$$

Учитывая (3.19), в § 1 можно действовать аналогично $\lambda \mapsto \bar{\lambda}$ на Γ , что

$$\frac{1}{\lambda_2 - \alpha^2} = \frac{1}{\lambda_2 - \alpha^2}, \quad \frac{1}{\lambda_1^2 - \alpha^2} = \frac{1}{\lambda_1^2 - \alpha^2},$$

утверждение теоремы в случае а) получаем простой проверкой непосредственно в формуле (3.12), принимая во внимание соотношения (3.20).

Перейдем к случаю б), заметим, что, при формулировке здесь условия на λ_j , $\operatorname{Re} \sqrt{\lambda_j - \alpha^2} = 0$. Это означает, что

$$\frac{1}{\lambda_j^2 - \alpha^2} = -\frac{1}{\lambda_j^2 - \alpha^2} = \sqrt{(\lambda_j^2 - \alpha^2)^2},$$

т.е. на точке λ_j как точке поверхности Γ антиинволюция $\lambda \mapsto \bar{\lambda}$ действует как идентичность $\tau: \lambda_j \mapsto \lambda_j$. Это обстоятельство как раз учтено в условии (3.18) на параметр A_j : именно в таком виде она приводит к соотношению, аналогичному соотношению (3.19) предыдущего случая:

$$\begin{aligned} \sigma_2 \tilde{\Psi}_0(\lambda_j)\begin{pmatrix} 1 \\ \bar{A}_2 \end{pmatrix} &= \tilde{\Psi}_0(\lambda_j)M_0(\lambda_j)\begin{pmatrix} 1 \\ \bar{A}_2 \end{pmatrix} = \\ &= \sigma_3 \tilde{\Psi}_0(\lambda_j) \sigma_3(\lambda_j) M_0(\lambda_j)\begin{pmatrix} 1 \\ \bar{A}_2 \end{pmatrix} = \tilde{\Psi}_3 \tilde{\Psi}_0(\lambda_j)\begin{pmatrix} 1 \\ \bar{A}_2 \end{pmatrix}. \end{aligned}$$

Соотношение (3.20) заменяется тем самым на следующее:

$$\sigma_2(\frac{1}{\bar{\lambda}}) = \infty \sigma_3(\frac{1}{\bar{\lambda}}) \Leftrightarrow \frac{1}{\bar{\lambda}} = -i \cdot 2 \operatorname{Im} \frac{1}{\bar{\lambda}} \Leftrightarrow \frac{1}{\bar{\lambda}} = -i \cdot 2 \operatorname{Im} p_j \quad j = 1, 2.$$

($\tilde{\Psi}$) удовлетворяет тем же векторным равенствам системы (3.4). Поэтому $\tilde{\Psi}(\lambda) = \Phi \tilde{\Psi}(\lambda) \Phi^{-1}$. Φ – не зависит от λ с другой стороны, $\tilde{\Psi}(\lambda) = \tilde{S}_2 \tilde{\Psi}(\lambda) \tilde{M}_0^{-1}(\lambda)$, следовательно,

$$\tilde{\Psi} \Leftrightarrow \tilde{S} \Leftrightarrow \tilde{\Psi} \Leftrightarrow S = \Phi S \Phi^{-1}. \quad (3.19)$$

Далее же $\tilde{\Psi}$ -функции удовлетворяют редукционному тождеству (I.I) с одной и той же матрицей $\tilde{S}_2(\lambda)$. Поэтому

$$\tilde{S}_3 \Phi \tilde{S}_3 = \Phi \Leftrightarrow \Phi = \text{diag}(c, d).$$

Согласно (3.20) с (3.19), при этом немедленно к выводу, что $c = d \Leftrightarrow \Phi = c \cdot I \Leftrightarrow \tilde{S}_2 \tilde{\Psi}(\lambda) = c \tilde{\Psi}(\lambda) \tilde{M}_0(\lambda) \Leftrightarrow$

$$M(\lambda) \cong M_0(\lambda).$$

§ 4. ПРОЦЕДУРА ОПЕРАЦИИ. СОЛЮТИОННЫЕ ЗАДАЧИ

Простейшим применением разностного в пределах параграфа стоками являетсяование двух типов "заключенных" $\tilde{\Psi}$ -функций:

$$\text{а)} \quad \tilde{\Psi}_0(\lambda, x, t) = \exp\{-i\tilde{\beta}_3 x\lambda + 2i\tilde{\beta}_2(\lambda^2 - a^2)t\},$$

$$\tilde{S}_0 = (0, 0, 1),$$

$$\text{б)} \quad \tilde{\Psi}_0(\lambda, x, t) = \exp\{-i\tilde{\beta}_1(\lambda^2 - a^2)(x - 2\lambda t)\},$$

$$\tilde{S}_0 = (1, 0, 0).$$

Как уже отмечалось во введении, получившиеся при этом решения, называемые, включают в себя все ранее известные, выражаемые в виде матричных функций решений уравнения I.-II. Отметим также еще раз, что авторы не пронесут в этом параграфе на плакатные каких-либо новых дифференциальных разностей. Достаточно выше цели здесь – методологическое подтверждение простоты описания к широкому кругу ранее известных эффектов альтернативной разностной методики. В связи с этим авторы, помимо выше изложенного, частично изложили спосо-

доказательство утверждения теоремы в случае 0) завершается снова ссылкой на непосредственную проверку в формуле (3.12), учитывющую первое равенство в (3.21) и соотношение (3.22). На этом завершается и доказательство самой теоремы.

Замечание 4. Использование тождества $M(\lambda) \tilde{M}(\bar{\lambda}) = I$ можно показать, что условие вещественности запишется в расщепленном виде

прописью оценками следующим для случаев:

$$1) \quad Q = \bar{Q} \quad (\text{левая плоскость}), \quad \lambda_j \in R, \quad |\lambda_j| > a,$$

$$2) \quad Q = -\bar{Q} \quad (\text{правая ось}), \quad \lambda_j \in R.$$

В самом деле, в обоих этих случаях точки λ_j как точки вещественности, что $\tilde{\Psi}_0 \tilde{\Psi}(\bar{\lambda}) = \tilde{\Psi}(\lambda) M(\lambda)$, приводят к следующему противоречию:

$$\begin{aligned} \tilde{\Psi}(\lambda_j) \left(\frac{1}{A_j} \right) = 0 &\Rightarrow \tilde{\Psi}(\lambda_j) \left(\frac{1}{A_j} \right) = 0 \Rightarrow \tilde{\Psi}(\lambda_j) M(\lambda_j) \left(\frac{1}{A_j} \right) = 0 \Rightarrow \\ \Rightarrow M(\lambda_j) \left(\frac{1}{A_j} \right) &= \infty \left(\frac{1}{A_j} \right) \Rightarrow - \left(\frac{1}{A_j} \right) = \infty \tilde{M}(\lambda_j) \left(\frac{1}{A_j} \right) \Rightarrow \\ \Rightarrow M(\lambda_j) \left(\frac{1}{A_j} \right) &= - \frac{1}{\infty} \left(\frac{1}{A_j} \right) \Rightarrow |ze|^2 = -1. \end{aligned}$$

Замечание 5. Как уже отмечалось, "одетая" $\tilde{\Psi}$ -функция (3.15) удовлетворяет редукционному тождеству (I.I) с той же матрицей $\tilde{S}_0(\lambda)$, что и заготовочная функция $\tilde{\Psi}_0(\lambda)$. Как мы сейчас убедимся, аналогичное утверждение верно и для вещественной разности (I.I).

Более того, пусть выполнены условия теоремы 4, тогда $\tilde{\Psi}_0$ – функция, отвечающая равенству (3.12) – (3.14), удовлетворяет тождеству (I.I) с матрицей $M(\lambda) \cong M_0(\lambda)$. В самом деле, рассмотрим, например, $\tilde{\Psi}$ -функцию $\tilde{\Psi}_0(\lambda) = \tilde{\psi}_1(\lambda) \tilde{\psi}_0(\lambda)$, функцию $\tilde{\Psi}_0(\lambda) = \tilde{\psi}_2 \tilde{\psi}_0(\lambda)$, и $\tilde{\Psi}_0(\lambda)$, например, из (3.18) оба эти функции имеют одинаковый набор линий засечки

*) Множитель $\left(\frac{1}{c} \tilde{S}_0 \right)$ мы будем в $\tilde{\psi}_0$.

плоскостям по теории фурье-анализа, позволяют себе опустить многочисленные приводимые ссылки, которые читателю, при необходимости можно восстановить по обзору А.М.Косякова [22].

Нам удобно звать следующий "на физическом" условии термино-гло. Решения уравнения (3.1), получаемые в результате однократного применения процедуры доказательства (3.12) - (3.14) к загадочному решению (6), будем называть S_3 -солитонами (S_1 -солитонами).

a) $\frac{S_3}{S_1}$ -солитон

$$\text{для } \frac{S_3}{S_1}(\lambda, t) = \exp\{-i\zeta z + \lambda t + 2i\delta(\lambda^2 - \alpha^2)t\} \text{ матрица } S_3(\lambda)$$

и $M_1(\lambda)$ имеют:

$$S_0(\lambda) \equiv \delta_3, \quad M_0(\lambda) \equiv \delta_2.$$

Теорема 4 предполагает тогда и для типов условий на параметры (λ_j, A_j) :

$$a_1) \quad \lambda_1 = \bar{\lambda}_2 \equiv \mu, \quad \Im \mu > 0,$$

$$\lambda_1 = -\frac{1}{\lambda_2} \equiv \Lambda, \quad A \in C \setminus \{0\},$$

$$a_2) \quad (\alpha = \bar{\alpha}), \quad \lambda_j \in R, \quad |\lambda_j| < \alpha, \quad j=1,2,$$

$$A_j = e^{2i\varphi_j t}, \quad \varphi_j \in R.$$

Соответственно этим двум случаям матрица Q^0 (см. (3.12)) преобразует

$$Q^0 \equiv \begin{pmatrix} E(\bar{\mu} - \mu) & \sqrt{\mu^2 - \alpha^2} + |E|^2 \sqrt{\mu^2 - \alpha^2} \\ E(\bar{\mu} - \mu) & \sqrt{\mu^2 - \alpha^2} + |E|^2 \sqrt{\mu^2 - \alpha^2} \end{pmatrix}, \quad (4.1)$$

$$E = \exp(2i\varphi\mu - 4i(\mu^2 - \alpha^2)t),$$

$$Q^0 \equiv \begin{pmatrix} i\sqrt{\lambda_1 - \lambda_2} E_1 \cdot \bar{E}_1 \sqrt{\alpha^2 - \lambda_1^2}, & \bar{E}_1 (\lambda_1 - \lambda_2) \\ E_2 (\lambda_2 - \lambda_1) & iE_1 \sqrt{\alpha^2 - \lambda_1^2} \cdot i\bar{E}_1 \sqrt{\alpha^2 - \lambda_2^2} \end{pmatrix}, \quad (4.2)$$

где

$$\omega = 4\zeta^2 + 4\gamma^2 + 4\alpha^2 = 4|\mu|^2 + 4\alpha^2.$$

$$E_1(x, t) = \exp(i(x(\lambda_2 - \lambda_1) - 2i(\lambda_2^2 - \lambda_1^2)t + \varphi_2 + \varphi_1)),$$

$$E_2(x, t) = \exp(i(x(\lambda_1 + \lambda_2) - 2i(\lambda_2^2 + \lambda_1^2 - 2\alpha^2)t + \varphi_2 + \varphi_1)).$$

Подставив (4.1) и (4.2) в (3.14), получаем явные формулы для двух типов S_3 -солитонов (второй тип возможен лишь в случае левых плоскостей!)

$$a_1) \quad S_3(z, t) = 1 - \frac{4\eta^2}{|\mu|^2 - \alpha^2 + |\mu|^2 - \alpha^2 |ch 2\beta(z, t)|},$$

$$S_3^{-1} = 4\eta^2 \frac{|\mu|^2 - \alpha^2 |ch 2\beta(z, t)|}{|\mu|^2 - \alpha^2 + |\mu|^2 - \alpha^2 |ch 2\beta(z, t)|}, \quad (4.3)$$

$$P(z, t) = 2\eta((x - 4\zeta)t - \rho_\mu(|A|), \mu = \xi + i\zeta, \eta = \frac{1}{2} \arg(\mu^2 - \alpha^2)),$$

$$\theta(x, t) = 2\xi x - 4(\xi^2 - \eta^2 - \alpha^2)t + \arg A;$$

$$a_2) \quad S_3(z, t) = 1 + \frac{(\alpha^2 - \lambda_2^2)(\alpha - \lambda_2^2)}{(\alpha^2 - \lambda_2^2)(\alpha - \lambda_2^2)} \cos 2\theta_1(z, t) + \lambda_1 \lambda_2 - \alpha^2, \quad (4.4)$$

$$S_1(x, t) = \cos \theta_1(x, t) S_1^0(z, t) - \sin \theta_1(x, t) S_2^0(z, t),$$

$$S_2(x, t) = \sin \theta_1(x, t) S_1(z, t) + \cos \theta_1(x, t) S_2^0(z, t),$$

$$S_1^0(z, t) = (\lambda_2 - \lambda_1) \sin \theta_1(z, t) \sqrt{\frac{(\alpha^2 - \lambda_2^2)(\alpha^2 - \lambda_1^2)}{\alpha^2 - \lambda_2^2 + \alpha^2 - \lambda_1^2}} \cos 2\theta_1(z, t) + \lambda_1 \lambda_2 - \alpha^2,$$

$$S_2^0(z, t) = (\lambda_2 - \lambda_1) \cos \theta_1(z, t) \sqrt{\frac{(\alpha^2 - \lambda_2^2)(\alpha^2 - \lambda_1^2)}{\alpha^2 - \lambda_2^2 + \alpha^2 - \lambda_1^2}} \cos 2\theta_1(z, t) + \lambda_1 \lambda_2 - \alpha^2,$$

$$S_1(x, t) = (\lambda_2 - \lambda_1) \cos \theta_1(x, t) \sqrt{\frac{(\alpha^2 - \lambda_2^2)(\alpha^2 - \lambda_1^2)}{\alpha^2 - \lambda_2^2 + \alpha^2 - \lambda_1^2}} \cos 2\theta_1^0(z, t) + \lambda_1 \lambda_2 - \alpha^2,$$

$$S_2(x, t) = (\lambda_2 - \lambda_1) (\alpha - 2(\lambda_1 + \lambda_2)t) + \varphi_2 - \varphi_1 \frac{(\alpha^2 - \lambda_2^2)(\alpha^2 - \lambda_1^2)}{(\alpha^2 - \lambda_2^2 + \alpha^2 - \lambda_1^2)} \cos 2\theta_1^0(z, t) + \lambda_1 \lambda_2 - \alpha^2,$$

$$S_1^0(x, t) = (\lambda_2 - \lambda_1) (\alpha - 2(\lambda_1 + \lambda_2)t) + \varphi_2 - \varphi_1 \frac{(\alpha^2 - \lambda_2^2)(\alpha^2 - \lambda_1^2)}{(\alpha^2 - \lambda_2^2 + \alpha^2 - \lambda_1^2)} \cos 2\theta_1^0(z, t) + \lambda_1 \lambda_2 - \alpha^2,$$

$$S_2^0(x, t) = (\lambda_2 - \lambda_1) (\alpha - 2(\lambda_1 + \lambda_2)t) + \varphi_2 - \varphi_1 \frac{(\alpha^2 - \lambda_2^2)(\alpha^2 - \lambda_1^2)}{(\alpha^2 - \lambda_2^2 + \alpha^2 - \lambda_1^2)} \cos 2\theta_1^0(z, t) + \lambda_1 \lambda_2 - \alpha^2,$$

Решение (4.3) предполагает собой уединенную волны, движущуюся со скоростью $U = 4\zeta$. Доказано сопровождение размесяем в временных векторах \vec{S} в плоскости (S_3, S_2) с частотой

$$\omega = 4\zeta^2 + 4\gamma^2 + 4\alpha^2 = 4|\mu|^2 + 4\alpha^2.$$

Скорость U в частота ω элементов линии возбуждения физически параметрами, которые вместе с начальными положением

$$x_0 = \frac{1}{2\eta} \ln |\Lambda|$$

и начальной фазой времени

$$\theta_0 = \arg A$$

однозначно характеризуют рассматриваемое солитонное решение. Заметим, что в случае линейной плоскости $Q_2^2 > 0$ и вращение вектора \vec{S} вспотя имеет место, в то время как в случае линейной оси вращения может отсутствовать (удельная спиральная волна). Условия отсутствия вращения имеют вид

$$\beta + \gamma^2 = -\alpha^2.$$

Виды: максимальная скорость $\sqrt{\alpha^2 + \gamma^2}$, с которой могут двигаться уединенные спиральные волны, равно $4\sqrt{\alpha^2 + \gamma^2}$. При преодолении этого значения должна это волнистость вращения вектора \vec{S} в плоскости (S_1, S_2) .

Решение (4.4) представляет собой случай периодического волны с фазовой скоростью $V_f = 2(\lambda_1 + \lambda_2)$. Так же как и в случае S_1 , имеется вращение в плоскости (S_1, S_2) с частотой

$$\Omega = 4(\alpha^2 + \lambda_1 \lambda_2).$$

Так как $|\lambda_1| < \alpha$, то наблюдается вращение наильзь. Отметим еще раз, что этот тип решения возможен лишь в случае линейной плоскости. Указанные на следующем изображении линии вспомогательные S_3 -компоненты решения (4.4) могут быть формально получены из S_3 -компоненты решения (4.3), если в последней положить

$$\gamma = \frac{i}{2}(\lambda_1 - \lambda_2), \quad \xi = \frac{\lambda_1 + \lambda_2}{2}. \quad (4.5)$$

Более того, при условиях (4.6) частота ω переходит в частоту Ω :
Линии образуют, спиралью, только на информацию о третьем компоненте вектора \vec{S} и частоте вращения в плоскости (S_1, S_2) мы можем обра-
титься к новородному заключению о возможности существования периодических

по x и t решений типа a_2) и в случае линейной оси. Имен же в других полных векторов \vec{S} (4.3), мы этой опасности избавляем — первые две компоненты вектора \vec{S} становятся мнимыми при условиях (4.4).

Формулы (4.3), (4.4) показывают нам, что S_3 -компоненты вектора \vec{S} в схеме и решении симметричного типа (неподвижные, осполагающие во времени образования):

$$\begin{aligned} a_1 - \text{образы: } \quad & \beta = 0 \\ S_1(x, t) = 1 - & \frac{4\eta^2}{\eta^2 - \alpha^2 + |V^2 + \alpha^2| \sin(4(\eta^2 + \alpha^2)t + \theta_0)}, \\ S_2(x, t) = -4\eta \sqrt{|\eta^2 + \alpha^2|} \frac{\sin(2\eta(x - x_0)) \cos(4(\eta^2 + \alpha^2)t + \theta_0)}{\eta^2 - \alpha^2 + |V^2 + \alpha^2| \sin(4(\eta^2 + \alpha^2)t + \theta_0)}, \\ S_3(x, t) = 4\eta \sqrt{|\eta^2 + \alpha^2|} \frac{\sin(2\eta(x - x_0)) \sin(4(\eta^2 + \alpha^2)t + \theta_0)}{\eta^2 - \alpha^2 + |V^2 + \alpha^2| \sin(4(\eta^2 + \alpha^2)t + \theta_0)}, \end{aligned} \quad (4.7)$$

$$\begin{aligned} a_2 - \text{образы: } \quad & \lambda_2 = -\lambda_1 \equiv \lambda_o, \quad |\lambda_o| < \alpha \\ S_1(x, t) = 1 + & \frac{(2 - \lambda_o^2) \cos(4\lambda_o x + 2\theta_0) - \lambda_o^2 - \alpha^2}{4\lambda_o^2}, \\ S_2(x, t) = -4\lambda_o \sqrt{\alpha^2 - \lambda_o^2} \frac{\sin(2\lambda_o x + \theta_0) \cos(4(\alpha^2 - \lambda_o^2)t + \theta_0)}{(\alpha^2 - \lambda_o^2)^2 \sin(2\lambda_o x + \theta_0) \cos(4(\alpha^2 - \lambda_o^2)t + \theta_0)}, \\ S_3(x, t) = 4\lambda_o \sqrt{\alpha^2 - \lambda_o^2} \frac{\sin(2\lambda_o x + \theta_0) \sin(4(\alpha^2 - \lambda_o^2)t + \theta_0)}{(\alpha^2 - \lambda_o^2)^2 \sin(2\lambda_o x + \theta_0) - \lambda_o^2 - \alpha^2}. \end{aligned} \quad (4.8)$$

При всех значенных параметров $\mu \neq 0$ и $A \in \mathbb{C} \setminus \{0\}$ формулы (4.3) определяют решения уравнения Л-Л, характеризующие следующим поведением при больших $|x|$:

$$\vec{S} \rightarrow (0, 0, 1), \quad (x \rightarrow \infty). \quad (4.9)$$

Справко в случае линейной оси можно организовать такой пределный переход в параметрах μ, A , что условие (4.9) нарушится. Покажем, что

$$B_1) \quad \lambda_1 = \bar{\lambda}_2 \equiv \mu, \quad \Im \mu > 0,$$

$$A_1 = -\frac{1}{\bar{\lambda}_2} \equiv A, \quad A \in C \setminus \{0\};$$

$$B_2) \quad (\alpha = \bar{\alpha}), \quad \lambda_j \in R, \quad |\lambda_j| < \alpha, \quad j=1,2,$$

$$A_j = -\bar{A}_{\bar{j}}.$$

Из (3.12) для матрицы Q^0 , отвечающей этим двум случаям, имеем:

$$Q^0 \equiv \begin{cases} \frac{B_1^2}{2} \left[(\lambda \mu + \cos \theta) \sqrt{\mu^2 - \alpha^2} + (\lambda \mu \cos \theta) \sqrt{\mu^2 - \alpha^2}, (\bar{\mu} \mu + \sin \theta) \sqrt{\mu^2 - \alpha^2} \right], \\ \frac{B_2^2}{2} \left[(\lambda \mu - i \sin \theta) \sqrt{\mu^2 - \alpha^2}, (\lambda \mu + \cos \theta) \sqrt{\mu^2 - \alpha^2} + (\lambda \mu \cos \theta) \sqrt{\mu^2 - \alpha^2} \right], \end{cases} \quad (4.13)$$

Решение (4.10) есть классическая "доменная станица". При $\omega \rightarrow \pm \infty$ $S \rightarrow (0, \pm 1)$. В § 5 нам потребуются выражения для матрицы Q^0 в ζ -функции, отвечающие решению (4.10). Соответствующие формулы легко получаются в результате предельного перехода в формулу (4.2) и (3.15) и имеют вид

$$Q^0 \approx \begin{pmatrix} -\int_{-\infty}^0 e^{2\pi i \omega t + i\varphi} & i \\ i c_0 e^{2i\varphi} & -\sqrt{\delta} e^{2\pi i \omega t + i\varphi} \end{pmatrix} \quad (4.11)$$

$$\psi(\lambda) = D_1(\lambda) Q^0 \psi_0(\lambda), \quad c_0 = \frac{\delta}{\mu + \alpha} \sqrt{\frac{\mu^2 - \alpha^2}{\mu^2 - \alpha^2}}; \quad (4.12)$$

b) S_1 -сolutions

Так как

$$\exp(-i\delta_1 \sqrt{\lambda^2 - \alpha^2} (\omega - 2\lambda t)) = \frac{i}{2} \left(\frac{1}{1-i} \exp(-i\delta_1 \sqrt{\lambda^2 - \alpha^2} (\omega - 2\lambda t)) \right) \begin{pmatrix} 1 & 1 \\ 1 & -1 \end{pmatrix},$$

то в качестве S_1^0 можно взять (и это оказывается удобно!) фиксацию

$$S_1^0(\lambda, \omega, t) = \left(\frac{1}{1-i} \exp \left\{ -i\delta_1 \sqrt{\lambda^2 - \alpha^2} (\omega - 2\lambda t) \right\} \right).$$

Соответствующие матрицы $B_0(\lambda)$ и $M_0(\lambda)$ есть

$$\delta'_0(\lambda) \equiv \sigma_1, \quad M_0(\lambda) \equiv -\sigma_2,$$

для типа условий вещественности таких:

$$Q^0 \equiv \begin{cases} \frac{B_1^2}{2} \left[(\lambda \mu + \cos \theta) \sqrt{\mu^2 - \alpha^2} + (\lambda \mu \cos \theta) \sqrt{\mu^2 - \alpha^2}, (\bar{\mu} \mu + \sin \theta) \sqrt{\mu^2 - \alpha^2} \right], \\ \frac{B_2^2}{2} \left[(\lambda \mu - i \sin \theta) \sqrt{\mu^2 - \alpha^2}, (\lambda \mu + \cos \theta) \sqrt{\mu^2 - \alpha^2} + (\lambda \mu \cos \theta) \sqrt{\mu^2 - \alpha^2} \right], \end{cases} \quad (4.14)$$

$$E_j(\omega, t) = \operatorname{Re} \left\{ 2i \sqrt{\frac{\mu^2 - \alpha^2}{\mu^2 - \alpha^2}} (\omega - 2\mu^2 t) \right\} + \operatorname{Im} |\lambda| A; \quad (4.15)$$

$$E_j(\omega, t) = \operatorname{Im} \left\{ 2i \sqrt{\frac{\mu^2 - \alpha^2}{\mu^2 - \alpha^2}} (\omega - 2\mu^2 t) \right\} + \operatorname{arg} A; \quad (4.15)$$

Соответственно решение уравнения Δ -II восстанавливается из (4.13), (4.14) по формуле

$$S = Q^0 \sigma_1(Q^0)^{-1}$$

и имеет, при произвольных μ и λ_j , весьма громоздкий вид, приведя который мы не будем. Тем более, что вся физическая информация, которой мы не будем, тем более, что вся физическая информация

легко может быть извлечена непосредственно из формул (4.13)–(4.15).

В случае общего положения решения (4.13) описывает локализованный по ∞ солитон ($S \rightarrow (1, 0, 0, |x| \rightarrow \infty)$, движущийся со скоростью, определяемой из линейной функции $\tilde{F}(x, t)$). Движение, всплеск от гравитационного вращения S_3 -солитона, сопровождается процессом вектора \tilde{S} во времени. частота процесса вычисляется по линейной функции

для $\theta(x, t)$. Соответствующее обратное равенство (напоминающий блок) подчеркнуто из (4.13) при условии $Re \mu = 0$, $|\mu| > |\alpha|$ (в случае лево-
кой оси). Формулы для \sum при этом сильно упрощаются, и становятся
рассмотренным в последнем блоке:

$$B_1 - \text{беззерна: } \mu_0 = i\gamma, \gamma > 0 \quad (\text{левая плоскость}),$$

$\theta_1 = 0$.

$$S_1(x, t) = \frac{\eta^2 \sin^2(\kappa x + \beta_0) - \alpha^2 \cos^2(\omega t + \theta_0) - 2\eta^2}{\eta^2 \sin^2(\kappa x + \beta_0) + \alpha^2 \cos^2(\omega t + \theta_0)},$$

$$S_2(x, t) = 2\eta^2 \frac{\sin(\omega t + \theta_0) \sin(\kappa x + \beta_0)}{\eta^2 \sin^2(\kappa x + \beta_0) + \alpha^2 \cos^2(\omega t + \theta_0)},$$

$$S_3(x, t) = -2\eta^2 \frac{\eta^2 \sin^2(\kappa x + \beta_0) + \alpha^2 \cos^2(\omega t + \theta_0)}{\eta^2 \sin^2(\kappa x + \beta_0) + \alpha^2 \cos^2(\omega t + \theta_0)}, \quad (4.16)$$

$$\kappa = -2\sqrt{\eta^2 + \alpha^2}, \quad \omega = \sqrt{\eta^2 + \alpha^2}, \quad \beta_0 = \rho_0 |\alpha|, \quad \theta_0 = \arg A.$$

Подчеркнем еще раз нетривиальность по сравнению с S_3 -формулами (см.
(4.7)) зависимость блока (4.16) от времени. Аналог формулы (4.13)
заключается следующим наблюдением: в случае левой оси существует ре-
шение, удовлетворяющее по t и оптимальное по κ . Для него получе-
ния достаточно решить в формуле (4.13) поисковую задачу $\mu = i\gamma$, $0 < |\gamma| < |\alpha|$. Тогда

$$\beta(x, t) = 4\sqrt{|\alpha|^2 - \eta^2} t + \beta_0,$$

$$\theta(x, t) = 2\sqrt{|\alpha|^2 - \eta^2} x + \theta_0.$$

Формулы для самого решения таковы: $(\alpha = -\bar{\alpha}_1)$

$$S_1(x, t) = \frac{\alpha^2 \sin^2(\Omega t + \beta_0) - \eta^2 \cos^2(\kappa x + \theta_0) + 2\eta^2}{\alpha^2 \sin^2(\Omega t + \beta_0) + \eta^2 \cos^2(\kappa x + \theta_0)},$$

$$S_2(x, t) = -\frac{2\eta^2 \sin(\Omega t + \beta_0) \sin(\kappa x + \theta_0)}{\alpha^2 \sin^2(\Omega t + \beta_0) + \eta^2 \cos^2(\kappa x + \theta_0)},$$

а формула для S_3 аналогична (4.16).

При этом для самой задачи получаем: $(\alpha = -\bar{\alpha}_1)$

и получаем для самой задачи получаем: $(\alpha = -\bar{\alpha}_1)$

- 32 -

$$S_3(x, t) = -\frac{2\eta^2 \sqrt{|\alpha|^2 - \eta^2} \sin(\Omega t + \beta_0) \sin(\kappa x + \theta_0)}{\alpha^2 \sin^2(\Omega t + \beta_0) + \eta^2 \cos^2(\kappa x + \theta_0)}, \quad (4.17)$$

Переход к общему в ℓ_2 -спектру, отметим сразу, что структура

из формулы (4.14) много проще структуры формулы (4.13). Как видно из

остаточного в формуле (4.14) отсутствует. По сути дела, она описывает взаимодействие двух более простых решений односигнатного типа.

Это односигнатное решение может быть получено из формулы (4.14) в результате предельного перехода

$$\lambda_1 \rightarrow 0, \quad A_1 \rightarrow 0. \quad (4.18)$$

Матрица Q при этом сильно упрощается:

$$Q^0 \approx \begin{pmatrix} i(1-E_2)/\alpha^2 - \lambda_2 & (1+E_2)(\alpha - \lambda_2) \\ (1-E_2)(\lambda_2 - \alpha) & -i(1+E_2)\sqrt{\alpha^2 - \lambda_2^2} \end{pmatrix},$$

и само решение имеет вид

$$S_1(x, t) = -t h\left(2\sqrt{\alpha^2 - \lambda^2}(x - 2\lambda t) + \Delta\right),$$

$$S_2(x, t) = \mp \frac{1}{\alpha} \frac{1}{\sin\left(2\sqrt{\alpha^2 - \lambda^2}(x - 2\lambda t) + \Delta\right)}, \quad (4.19)$$

$$S_3(x, t) = \pm \frac{\sqrt{\alpha^2 - \lambda^2}}{\alpha} \frac{1}{\sin\left(2\sqrt{\alpha^2 - \lambda^2}(x - 2\lambda t) + \Delta\right)},$$

где $\lambda \in \lambda_2$, $\Delta = -\rho_{\alpha} i \gamma_2$, и в равенствах для S_2, S_3 второй знак со-
ответствует $\gamma_2 > 0$, а ненулевому $\gamma_2 < 0$. Решение (4.19) представляет

собой динамическую систему $\dot{x} = \tilde{S}^{-1}(\tilde{x}, t, 0)$, $x \rightarrow \infty$. Фор-
мулу (4.14) можно тогда интерпретировать как взаимодействие двух

доменных стенок. Однако дальше разивать эту тему здорово опасно, и

затемнением еще раз, что это решение мы получили только для

случай легкой плоскости.

ся не доказано. В § 9 для решения (4.19) были получены различные формулы. Поэтому изучение взаимодействия друг с другом S_1 -солитонов типа (4.19) естественно сплошь в § 9.

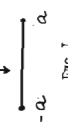
Все рассмотренные выше решения характеризовались либо экспоненциальными, либо тригонометрическими поведением по ∞ . Однако так различные различные случаи в формулах (4.3), (4.4) и (4.13)coleжатся также и решения уравнения Л-Л со степенным поведением по ∞ ("экспоненциональные" солитоны).

I. Равновесные солитоны в случае лежачей плоскости

Положим в формуле (4.3)

$$\eta \rightarrow 0, |\xi| < a \quad (\alpha^2 > 0); \quad \theta_0, \infty = 0(1). \quad (4.20)$$

Тогда же (см. рис. I) $\varphi \rightarrow \frac{\pi}{2}$. Более того:



Горизонтальная ось

$$\begin{aligned} \varphi = \frac{1}{2} + \frac{1}{2} \operatorname{arctg} \frac{2\eta}{\xi^2 - \eta^2 - \alpha^2} &\Rightarrow \left\{ \begin{array}{l} \cos \varphi = \frac{\xi}{\alpha^2 - \xi^2} \eta + O(\eta^3) \\ \sin \varphi = 1 + O(\eta^2) \end{array} \right. \\ &= \frac{\pi}{2} - \frac{\xi^2 - \eta^2}{\alpha^2 - \xi^2} \eta + o(\eta) \end{aligned} \quad (4.21)$$

Однако для оставшихся объектов, входящих в формулу (4.3), получается столь же просто:

$$\begin{aligned} |\mu|^2 - \alpha^2 &= \sqrt{(\xi^2 - \eta^2 - \alpha^2)^2 + \xi^2 \eta^2} = \alpha^2 - \xi^2 + \eta^2 \left(1 + \frac{2\xi^2}{\alpha^2 - \xi^2} \right) + O(\eta^4), \\ \sin \mu &= 2\eta (\infty - 4\xi t - \infty_0) + O(\eta^3), \\ \cos \mu &= 1 + O(\eta^2), \end{aligned} \quad (4.22)$$

* Указанный на рис. I выбор разреза согласован с законом действий на пограничном $\lambda \mapsto \bar{\lambda}$ на Γ (см. § 1).

$$\operatorname{ch} 2\beta = 1 + 8\eta^2(\infty - 4\xi t - \infty_0)^2 + O(\eta^4),$$

$$|\mu|^2 - \alpha^2 = \xi^2 - \alpha^2 + \eta^2, \quad \theta = 2\xi \infty - 4(\xi^2 - \alpha^2)t + \theta_0 + O(\eta^2).$$

Из (4.22) и (4.21) получаем, что при предельном переходе (4.20) решение (4.3) приводится в виде

$$S_3(\xi, t) = 1 - \frac{\alpha^2 + 4(\alpha^2 - \xi^2)^2 (\infty - 4\xi t - \infty_0)^2}{2(\alpha^2 - \xi^2)}, \quad (4.23)$$

$$S_1 + S_2 = \frac{4i\sqrt{\alpha^2 - \xi^2}(\frac{1}{2}\xi\eta + i(\alpha^2 - \xi^2)(\infty - 4\xi t - \infty_0))}{\alpha^2 + 4(\alpha^2 - \xi^2)^2} \exp\{2i\xi t - 4(\xi^2 - \alpha^2)t\} + Q_0. \quad (4.24)$$

Положим в формуле (4.3)

$$\eta \rightarrow 0, |\xi| < a \quad (\alpha^2 > 0); \quad \theta_0, \infty = 0(1).$$

Тогда же (см. рис. I) $\varphi \rightarrow \frac{\pi}{2}$. Более того:

2. Равновесные солитоны в синус лежачей оси

Отрабатываем на этот раз от S_1 -солитона (4.13)-(4.15), и считаем $\alpha = -\bar{\alpha}$, расмотрим следующий предельный переход:

$$\mu = \alpha + O(\varepsilon), \quad \sqrt{\alpha^2 - \xi^2} = \varepsilon e^{i\chi}, \quad b_{\alpha}(\lambda) = -\varepsilon \operatorname{Re}(2i e^{i\chi} \infty),$$

$$\operatorname{arg} A = -\varepsilon \operatorname{Im}(4|\alpha|e^{i\chi} t_0); \quad \chi, \infty, t_0 \in \mathbb{R}, \quad \varepsilon \downarrow 0.$$

Предельное выражение для матрицы Q^0 из (4.13) будет иметь вид, например,

$$Q^0 = \begin{cases} 2e^{i\chi} & -4i|\alpha|e^{-i\chi}[i(\infty - \infty_0) - 2|\alpha|(t - t_0)] \\ 4i|\alpha|e^{i\chi}[i(\infty - \infty_0) + 2|\alpha|(t - t_0)], & 2e^{i\chi} \end{cases} \quad (4.24)$$

Подставляя (4.24) в (4.15), получаем формулы для соответствующего решения уравнений Л-Л:

$$S_3(x,t) = \frac{4|\alpha|(x-x_0)}{1+4|\alpha|^2[(x-x_0)^2+4|\alpha|^2(t-t_0)^2]}, \quad (4.25)$$

$$S_1(x,t)-iS_2(x,t) = \frac{e^{-2i\delta}[1-4|\alpha|^2((x-x_0)+2i|\alpha|(t-t_0))^2]}{1+4|\alpha|^2[(x-x_0)^2+4|\alpha|^2(t-t_0)^2]}. \quad (4.26)$$

В отличие от (4.23) это решение обобщенного типа и характеризуется полностью разрыванным поведением по объему перемещения. Еще раз подчеркнем, что решение типа (4.25) существует только в случае легкой оси, в то время как решение типа (4.26) - только в случае лягкой плоскости.

§ 5. ПРОЦЕНТУАЛЬНЫЕ ВЗАИМОДЕЙСТВИЯ СОЛЛОТОНКИ РЕЖИМИ

По своей сути разрывы, на которые нам приводят ослабления есть пропускаемая, после ее однородного пропускания мы получим сразу наряду с $(\bar{\Sigma}_1, \bar{\Sigma}_2)$, которую снова можем описать по тем же формулам (3.12) - (3.15), считая генератор $\bar{\Sigma} \equiv \bar{\Sigma}_1 + i\bar{\Sigma}_2$, и т.д. Существенно, что при этом, в силу замечания 5, "результативные" матрицы $\mathcal{S}(\lambda)$ и $\mathcal{M}(\lambda)$ сохраняются за пропусканием этого возмущенного торсионного резонанса. То есть не каждое поле мы имеем один и тот же спектр условий на параметры пропускания (λ_1, μ_1) . Поэтому если одновременно использовать пропускание и описание в классификации всех элементарных возбужденных, порождающих колебания "вакуумом" $(S_0, \bar{\Sigma}_0)$, то все последующие пересечения позволят нам описать взаимодействие процессов в замкнутой системе трех элементарных взаимодействий между собой. В частности широкомасштабным образом можно оценить эффективность такого потока на примере описания первого взаимодействия S_3 -соллотов.

Случай I. Взаимодействие двух S_3 -соллотов типа (a_1) :

$$\Rightarrow VV^{-1} = \begin{pmatrix} 1/(\bar{\mu}_1 - \omega) & 0 \\ 0 & 1/(1+a_1) + o(1) \end{pmatrix}. \quad (5.2)$$



Рис.2

Двухслаговое решение, схематически изображенное на рис. 2, может быть получено в результате двух способов двухэтапного ослабления:

$$\begin{aligned} (\bar{\Sigma}_0, \bar{\Sigma}_1) &\xrightarrow{(\mu_1, A_1)} (\bar{\Sigma}_1, \bar{S}_1) \xrightarrow{(\mu_2, A_2)} (\bar{S}_{12}, \bar{S}_{12}), \\ (\bar{\Sigma}_0, \bar{\Sigma}_1) &\xrightarrow{(\mu_1, A_1)} (\bar{\Sigma}_2, \bar{S}_2) \xrightarrow{(\mu_2, A_2)} (\bar{S}_{21}, \bar{S}_{21}). \end{aligned} \quad (5.1)$$

Очевидно, что $\bar{S}_{12} = \bar{S}_{21}$, что эти два решения обладают одинаковыми изображениями в различных задачах Рикрина. Для выполнения эффекта воздействиями соллотов (μ_1, A_1) на солитон (μ_2, A_2) будем исходить из первой строки в (5.1). Найдем асимптотику функции $\bar{\Sigma}_1$ при условиях $t \rightarrow \pm \infty$: $\bar{x} - 4\bar{\xi}_{12} = \text{const}$. Согласно, для определенности, что $\bar{\xi}_2 < \bar{\xi}_1$, в силу (3.9), (3.12) при $t \rightarrow +\infty$: $\bar{x} - 4\bar{\xi}_2 t = \text{const}$:

$$\begin{aligned} \bar{\chi}_1 &= \sqrt{2 - \bar{\alpha}} A_1 \exp\{-\eta(\bar{x} - 4\bar{\xi}_2 t) - 4\eta(\bar{\xi}_2 - \bar{\xi}_1)t\} \left\{ \begin{pmatrix} 0 \\ 1 \end{pmatrix} + o(1) \right\} \Rightarrow \\ \bar{\chi}_2 &= (\bar{\mu}_1 - \omega) \exp\{-\eta(\bar{x} - 4\bar{\xi}_2 t) - 4\eta(\bar{\xi}_2 - \bar{\xi}_1)t\} \left\{ \begin{pmatrix} 1 \\ 0 \end{pmatrix} + o(1) \right\} \\ \Rightarrow W &= \exp\{-\eta(\bar{x} - 4\bar{\xi}_2 t) - 4\eta(\bar{\xi}_2 - \bar{\xi}_1)t\} \left\{ \begin{pmatrix} 0 \\ 1 \end{pmatrix} + o(1) \right\} \left(\begin{pmatrix} 0 & \bar{\mu}_1 - \omega \\ \bar{\mu}_1 - \omega & 0 \end{pmatrix} \right), \\ V &= \exp\{-\eta(\bar{x} - 4\bar{\xi}_2 t) - 4\eta(\bar{\xi}_2 - \bar{\xi}_1)t\} \left\{ \begin{pmatrix} 1/(\bar{\mu}_1 - \omega) & 0 \\ 0 & 1/(1+a_1) + o(1) \end{pmatrix} \right\} \left(\begin{pmatrix} 0 & \bar{\mu}_1 - \omega \\ \bar{\mu}_1 - \omega & 0 \end{pmatrix} \right), \end{aligned}$$

Подставив (5.2) в формулу (3.15), получаем для $\Psi_1^+(\lambda)$ в окрестности μ_1 :

$$\Psi_1^+(\lambda) = \frac{\lambda - \bar{\mu}_1}{\mu_2 - \alpha} \begin{cases} 1 & 0 \\ 0 & \delta_0 \frac{\lambda - \bar{\mu}_1}{\lambda - \mu_1} \frac{\mu_1 - \alpha}{\mu_1 + \alpha} + o(1) \end{cases} + o(1) \left\{ \begin{array}{l} \Psi_0^+(\lambda) \\ \Psi_0^-(\lambda) \end{array} \right\}, \quad (5.3)$$

$t \rightarrow +\infty, \infty - 4\xi_2 t = \text{const}, \xi_2 < \xi_1$.

Согласно аналогичному вычислению при $t \rightarrow -\infty$ приведенному в формуле

$$\Psi_1^-(\lambda) = \frac{\lambda - \bar{\mu}_1}{\mu_2 - \alpha} \begin{cases} 1 & 0 \\ 0 & \delta_0 \frac{\lambda - \bar{\mu}_1}{\lambda - \mu_1} \frac{\mu_1 - \alpha}{\mu_1 + \alpha} + o(1) \end{cases} + o(1) \left\{ \begin{array}{l} \Psi_0^+(\lambda) \\ \Psi_0^-(\lambda) \end{array} \right\}, \quad (5.4)$$

$t \rightarrow -\infty, \infty - 4\xi_2 t = \text{const}, \xi_2 < \xi_1$.

Асимптотика (5.3) показывает нам, что вторая строка в первой строке (5.1) при $t \rightarrow +\infty$ и $\infty - 4\xi_2 t = \text{const}$ обращается в простое значение «нулевого» заторможенного решения (S_0, Ψ_0^+) , характеризующее параметры

$$\mu_2^+ = \mu_2 \delta_0 \frac{\bar{\mu}_1 - \alpha}{\mu_1 + \alpha} \frac{\mu_2 - \mu_1}{\mu_2 - \bar{\mu}_1}.$$

Из них слогаемая, при $t \rightarrow +\infty, \infty - 4\xi_2 t = \text{const}$ решение S_{12}^+ имеет своей асимптотикой S_3^- -солитон вида (4.3), характеризуемый следующим выражением

$$x_{12}^+ = \frac{1}{2\bar{\mu}_2} \left\{ \delta_0 |\Lambda_2| S_0 + o_n \left| \frac{\bar{\mu}_1 - \alpha}{\mu_1 + \alpha} \frac{\mu_2 - \mu_1}{\mu_2 - \bar{\mu}_1} \right| \right\}$$

в начальной фазовой вращении

$$\theta_{02}^+ = \arg A_2 + \arg \bar{\delta}_0 + \arg \left(\frac{\bar{\mu}_1 - \alpha}{\mu_1 + \alpha} \frac{\mu_2 - \mu_1}{\mu_2 - \bar{\mu}_1} \right).$$

Аналогично из асимптотики (5.4) получаем, что при $t \rightarrow -\infty$ и

$x - 4\xi_2 t = \text{const}$ решение S_{12}^- асимптотически выражается в виде

$$S_3^- - \text{солитон вида (4.3), характеризуемый той же скоростью } \frac{\mu_2}{\mu_1} \text{ и т.ч. как и } \omega_2,$$

но иными значениями параметров x_{12}^- и θ_{02}^- :

$$x_{12}^- = \frac{1}{2\bar{\mu}_2} \left\{ \delta_0 |\Lambda_2| S_0 + o_n \left| \frac{(\bar{\mu}_1 - \alpha)}{(\bar{\mu}_1 + \alpha)} \frac{(\mu_2 - \bar{\mu}_1)}{(\mu_2 - \mu_1)} \right| \right\},$$

$$\theta_{02}^- = \arg A_2 + \arg \bar{\delta}_0 + \arg \left(\frac{\bar{\mu}_1 - \alpha}{\bar{\mu}_1 + \alpha} \frac{\mu_2 - \bar{\mu}_1}{\mu_2 - \mu_1} \right).$$

Ввиду результатов взаимодействия солитона (μ_1) на солитон (μ_2) следится к сдвигам положения центра масс и начальной фазы вращения в плоскости (S_1, S_2) :

$$\Delta x_{02} = x_{02}^+ - x_{02}^- = \frac{1}{\bar{\mu}_2} \left| \delta_0 \left| \frac{\mu_2 - \mu_1}{\mu_2 - \bar{\mu}_1} \right| \right|, \quad (5.5)$$

$$\Delta \theta_{02} = \theta_{02}^+ - \theta_{02}^- = -2 \arg \left(\frac{\mu_1 - \alpha}{\mu_1 + \alpha} \right) + 2 \arg \left(\frac{\mu_2 - \mu_1}{\mu_2 - \bar{\mu}_1} \right).$$

Для полученных асимптотических решений S_{12}^+, S_{12}^- при $t \rightarrow \pm\infty$ и $x - 4\xi_2 t = \text{const}$ нужно отталкиваться от второй строки в (5.1).

При этом мы, очевидно, получим, что асимптотика S_{12} при $t \rightarrow \pm\infty$ будет S_3 -солитон вида (4.3), характеризуемый на этот раз скоростью $\Omega_1 = 4\xi_1$ и частотой вращения $\omega_1 = 4(\xi_1^2 + \eta_1^2)^{1/2}$. Соответствующие сдвиги положения центра масс и начальной фазы вращения опишутся формулами, аналогичными формулам (5.5):

$$\Delta x_{01} = \frac{1}{\bar{\mu}_1} \left| \delta_0 \left| \frac{\mu_1 - \bar{\mu}_1}{\mu_1 - \mu_2} \right| \right|,$$

$$\Delta \theta_{01} = 2 \arg \left(\mu_2^2 - \alpha^2 \right) + 2 \arg \left(\frac{\mu_1 - \bar{\mu}_1}{\mu_1 - \mu_2} \right).$$

В заключении отметим, что сдвиги взаимодействия солитонов выражены для сдвига центра масс солитонов через фазовые параметры Ω_1 и ω_1 :

$$\Delta x_{02} = -\frac{\rho_1}{\bar{\gamma}_2} \Delta x_{01} =$$

$$\Omega = 4(\alpha_1^2 + \lambda_1^2) \lambda_2 + \sqrt{4\alpha_1^2 - \lambda_1^2} U_2 - \sqrt{4\alpha_2^2 - \lambda_2^2} U_1$$

$$= \frac{1}{2} \ln \frac{2\omega_2^2 + 2\omega_1^2 - 16\alpha_1^2 - U_1^2 U_2 - \sqrt{4\alpha_2^2 - \lambda_2^2}}{2\omega_2^2 + 2\omega_1^2 - 16\alpha_2^2 - U_1^2 U_2 + \sqrt{4\alpha_1^2 - \lambda_1^2} U_1^2}.$$

Случай 2. Взаимодействие S_3 -солитона типа (а₁) с S_3 -солитоном типа (а₂) (случаи левого и правого):



Рис.3

Решение, описывающее этот вид взаимодействия, схематически изображено на рис.3. Оно может быть реализовано как следующее двухэтапное: наование:

$$(U_0, S_0 = (\alpha_0, 1)) \xrightarrow{\mu, A} (U_1, S_1 = (\lambda_1, \lambda_2, \varphi_1, \varphi_2)) \xrightarrow{\mu, C} (U_2, S_{12}). \quad (5.6)$$

Считая $\xi > \frac{\lambda_1 + \lambda_2}{2}$ и повторяя дословно соответствующее рассуждение предыдущего пункта, мы снова приходим к формуле (5.3) (при $t \rightarrow +\infty$),
 $\infty - 2(\lambda_1 + \lambda_2)t = \text{const}$ и (5.4) (при $t \rightarrow -\infty$),

$\infty - 2(\lambda_1 + \lambda_2)t = \text{const}$. Это обстоятельство позволяет нам сказать
 знать о том, что вторая строка в (5.6) при $t \rightarrow \pm\infty$,
 $\infty - 2(\lambda_1 + \lambda_2)t = \text{const}$ превращается в простое α_2 -излучение "пуль-
 бого" загаранного решения (S_0, Ψ_0), характеризующее эффектами
 при параметри

$$\lambda_j^+, \varphi_j^+ = \varphi_j - \arg(\mu^2 - \alpha^2) + 2\arg(\lambda_j - \mu) \quad (t \rightarrow +\infty),$$

$$\lambda_j^-, \varphi_j^- = \varphi_j + \arg(\mu^2 - \alpha^2) - 2\arg(\lambda_j - \mu) \quad (t \rightarrow -\infty).$$

Таким образом при $t \rightarrow \pm\infty$, $\infty - 2(\lambda_1 + \lambda_2)t = \text{const}$ решение S_{12} имеет
 вид солитонной периодической S_3 -солитона типа (4.4), характери-
 зующей фазовую скорость $U_0 = 2(\lambda_1 + \lambda_2)$, кратной частотой

$$\varphi_1^+ - \varphi_1^- = \pm 2\arg \frac{\lambda_2 - \mu}{\lambda_1 - \mu},$$

$$\varphi_2^+ - \varphi_2^- = \mp 2\arg(\mu^2 - \alpha^2) \mp 2\arg(\lambda_2 - \mu) + \varphi_2 + \varphi_1.$$

Иными словами, эффект взаимодействия S_3 -солитона типа (а₁) на периодическую волну (а₂) определяется соотношением

$$\Delta(\varphi_2 - \varphi_1) = 4\arg \frac{\lambda_2 - \mu}{\lambda_1 - \mu},$$

$$\Delta(\varphi_2 + \varphi_1) = -4\arg(\mu^2 - \alpha^2) + 4\arg(\lambda_2 - \mu)(\lambda_1 - \mu).$$

В физических параметрах (Σ, ω) солитон и (U_0, S_2) представляются на формах (5.7) могут быть записаны следующим образом:

$$\Delta(\varphi_2 - \varphi_1) = 4\arg \frac{U_0 + 2 \sqrt{\varphi^2/4 - \Omega^2 + 4\alpha^2}}{U_0 - 2 \sqrt{\varphi^2/4 - \Omega^2 + 4\alpha^2 - \mu^2}},$$

$$\Delta(\varphi_2 + \varphi_1) = -4\arg(\mu^2 - \alpha^2) + 4\arg(\mu^2 - \frac{1}{2}\Omega^2 + \frac{1}{4}\Omega^2 - \mu^2),$$

$$\mu = \frac{1}{4}\Omega + i\sqrt{\frac{\varphi^2}{4} - \frac{\Omega^2}{16} - \alpha^2}.$$

Случай 3. Взаимодействие S_3 -солитона типа (а₁) с доменной стенкой (случай легкой оси):

Как показано в § 4, доменная стена (4.10) есть вырожденный случай ($\mu \rightarrow 0, A \rightarrow C$) S_3 -солитона (4.3). Поэтому, разбираемый нами сейчас случай взаимодействия можно изучить на базе взаимодей-
 ствия двух S_3 -солитонов, пропадающих в соответствующих формах

пределенный переход

$$\mu_2 \rightarrow 0, A_2 \rightarrow 0 \quad (A_2 \equiv \frac{1}{2}|\alpha|\sqrt{\varphi}) \quad \sqrt{\varphi^2 - \alpha^2} e^{i\psi}. \quad (5.8)$$

Схематически получение при этом решения S_{12} изображено на рис.4.

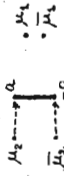


Рис.4

Оно может быть реализовано в результате выполнения следующих шагов:

$$(\mathcal{U}_1, \mathcal{S}_1) \frac{(\mu_1, \mu_2)}{(\mu_2, \mu_1)} (\mathcal{U}_2, \mathcal{S}_2) \frac{(\mu_2, \mu_3)}{(\mu_3, \mu_2)} (\mathcal{U}_3, \mathcal{S}_3) \frac{\mu_3 + \alpha}{\mu_3 - \alpha} (\mathcal{U}_{12}, \mathcal{S}_{12}), \quad (5.9)$$

По аналогии с предыдущими случаями для вычисления эффекта возействия силы на доменную стенку нужно сравнить асимптотики при

$t \rightarrow \pm \infty$, $\omega = \text{const}$. Для асимптотики убывающей, опи-

сающей на дугу (5.9). Напротив, воздействие доменной стены на

силой ($t > 0$, асимптотика \mathcal{S}_{12}^0 при $t \rightarrow +\infty$, $\omega = \text{const}$) легче

считается, если воспользоваться диаграммой (5.10).

a) Воздействие силы на доменную стенку.

Запишем функцию $\mathcal{U}_1^0(\lambda)$ в виде (см. (3.1), (3.3)):

$$\begin{aligned} \mathcal{U}_1^0(\lambda) = & \{(\lambda \mathcal{U}_1^0(\lambda)) = \left(\lambda(\mu_1 + \mu_2) + \beta + p_0, \quad (\mu_1 - \mu_2) \sqrt{\mu_1^2 - \mu_2^2}, \right. \\ & \left. (\mu_1 + \mu_2) \sqrt{\mu_1^2 - \mu_2^2}, \quad \lambda(\mu_1 - \mu_2) - p_3 + p_0 \right) \times \end{aligned} \quad (5.11)$$

$$* \exp \left\{ -i \int_3^1 x \lambda + 2i \int_3^1 \psi_3^+ (\lambda^2 - \alpha^2) \right\}. \quad (5.11)$$

Беря (5.11) в качестве \mathcal{U}_1^0 в формулах (3.12), (3.13) (вторая строка в (5.9)) и устранив в последних пределный переход (5.8) (третья строка в (5.9)) для матрицы \mathcal{Q}_1^0 , отвечающей решению \mathcal{S}_{12}^0 , полу-

чаем линейное представление в виде

$$\mathcal{Q}_1^0 = -\mathcal{U}_1^0(\lambda) \mathcal{U}_{22}^0(\lambda) \sqrt{2|\alpha|} e^{i\psi_1 C_0}, \quad \mathcal{Q}_{22}^0 = \frac{1}{C_0} \mathcal{Q}_{11}^0,$$

$$\mathcal{Q}_{12}^0 = -2|\alpha| \left[\mathcal{U}_1^0(\lambda) \sqrt{2|\alpha|} \right] e^{i\psi_1 C_0} (\mu_1 - i\mu_2) e^{i\omega t} +$$

$$+ 2|\alpha| \left[\mathcal{U}_{11}^0(\lambda) \mathcal{U}_2^0(\lambda) \right]_{11}, \quad (5.12)$$

$$\begin{aligned} \mathcal{Q}_{21}^0 = & 2|\alpha| \left[\mathcal{U}_1^0(\lambda) \right]_{22} \sqrt{2|\alpha|} e^{i\psi_1 C_0} (\mu_1 + i\mu_2) e^{i\omega t} + \\ & + 2|\alpha| \left[\mathcal{U}_1^0(\lambda) \right]_{22} \left[\mathcal{U}_1^0(\lambda) \right]_{22} C_0 e^{i\omega t}, \end{aligned}$$

$$C_0 = \frac{C_{\infty}}{\mu_1 - \alpha} \sqrt{\frac{\mu_1^2 - \alpha^2}{\mu_2^2 - \alpha^2}} \quad (|\alpha_0| = 1!).$$

Пологим теперь $t \rightarrow +\infty$, $\omega = \text{const}$. Для функции $\mathcal{U}_1^0(\lambda)$ можно тогда воспользоваться асимптотикой (5.3), что приводит к следующему уравнению (формул (5.12)):

$$\mathcal{Q}_1^0 \approx \begin{cases} -\frac{\mu_1 + \alpha}{\mu_1 - \alpha} \left| e^{2i\omega t} \sqrt{\mu_1^2 - \alpha^2} \right. & \text{если } \omega \\ \frac{i\omega e^{2i\psi_1}}{\mu_1 - \alpha} & \left. \left| e^{2i\omega t} \sqrt{\mu_1^2 - \alpha^2} \right| \right. \end{cases} \quad (5.13)$$

В рассматриваемом пределе $\mathcal{S}_{12}^0 \rightarrow (0, 0, 1)$. Поэтому асимптотика реше-
ния \mathcal{S}_{12}^0 имеет вид

$$\mathcal{S}_{12}^0 = Q_+^0 S_0(Q_+^0)^{-1}, \quad t \rightarrow +\infty, \omega = \text{const}. \quad (5.13)$$

Составляя (5.13) с выражением (4.11) для матрицы \mathcal{Q}_1^0 доменной сте-
нки, приходим к выводу, что асимптотика \mathcal{S}_{12}^0 при $t \rightarrow +\infty$, $\omega = \text{const}$
имеет доменную структуру, характеризуемую параметрами

$$\gamma^+ = \gamma \left| \frac{\mu_1 + \alpha}{\mu_1 - \alpha} \right|^2, \quad \gamma^- = \psi. \quad (5.14)$$

Асимптотикам одновременно, поставлены в (5.12) асимптотики (5.4), прихо-
дят к заключению, что при $t \rightarrow -\infty$, $\omega = \text{const}$ решение \mathcal{S}_{12}^0 снова
имеет доменную структуру, но с параметрами

$$\gamma = \gamma \left| \frac{\mu_1 - \alpha}{\mu_1 + \alpha} \right|^2, \quad \psi = \psi.$$

Таким образом, эффект воздействия S_3 -стенки (4.3), характери-
зующегося скоростью $V_1 = 4R\mu_1$ и частотой $\omega_1 = 4|\mu_1|^2 + 4\alpha^2$ на доменную

стену (4.10), описывается соотношением:

$$\Delta^+ - \Delta^- = 2 \ln \left| \frac{\mu_1 + \alpha}{\mu_1 - \alpha} \right|,$$

$$\psi^+ - \psi^-.$$

6) Болееголямой стены на солитон.

Результат выполнения первых двух строк в (5.7) описывается формулами (4.10) и (4.12) – это дополненная стена и ее Ψ -функции, характеризующие параметры χ и Ψ . Положим $t \rightarrow \infty$, $x - 4\zeta_1 t = \text{const}$.

Тогда $\chi \rightarrow \infty$, и формулы (4.10), (4.12) пере-

$$\begin{aligned} \Psi_2^0(\lambda) &= \begin{pmatrix} c_0(\lambda - \alpha) & 0 \\ 0 & \lambda + \alpha \end{pmatrix} \exp\{-i\omega_3^* \lambda + 2i\omega_3(\chi^2 - \alpha^2)t\}, \\ S_2^0 &= (0, 0, t). \end{aligned} \quad (5.15)$$

Если есть третья строка в (5.10) превращается в простое a_1 -одоление

с эффективными параметрами

$$\mu_1, \quad A_1^+ = A_1 \frac{\mu_1 + \alpha}{\mu_1 - \alpha} \frac{1}{C_0}.$$

Таким образом, при $t \rightarrow \infty$, $x - 4\zeta_1 t = \text{const}$ решение S_2^0 имеет вид

$$V_1 = 4\zeta_2, \quad \omega_1 = 4|\mu_1|^2 + 4\alpha^2, \quad 2\chi = \arg C_0, \quad (5.17)$$

$$x_0^+ = \frac{1}{2\eta_1} \ln |A_1| + \frac{1}{2\eta_1} \ln \left| \frac{\mu_1 + \alpha}{\mu_1 - \alpha} \right|, \quad \theta_0^+ = \arg A_1 - 2\chi + \arg \frac{\mu_1 + \alpha}{\mu_1 - \alpha}.$$

Пусть теперь $t \rightarrow -\infty$, $x - 4\zeta_1 t = \text{const}$. Тогда $\chi \rightarrow -\infty$, и имеем

$$\Psi_2^0(\lambda) = \sqrt{2 - \alpha} \begin{pmatrix} 0 & e^{-\chi - i\omega_3^* \lambda} \\ e^{i\omega_3^* \chi} & 0 \end{pmatrix} \exp\{-i\omega_3^* \lambda + 2i\omega_3(\chi^2 - \alpha^2)\}. \quad (5.18)$$

$$S_2^0 = (0, 0, -t).$$

Обозначим через \tilde{Q}_{d} матрицу Q^0 , отвечающую S_3 -солитону \tilde{S}_3 , характеристическую по параметрам μ_1, A_1 . Как нетрудно убедиться, матрица \tilde{Q}_{d} , получаемая в результате одоления по формуле (3.12) формула (5.18), связана с матрицей Q_{d} соотношением

$$Q_-^0 = T Q_{\text{d}}^0 T, \quad T = \begin{pmatrix} 0 & e^{-i(\chi + \chi')} \\ e^{i(\chi + \chi')} & 0 \end{pmatrix}.$$

Отсюда для решения S_{12}^0 при $t \rightarrow -\infty$, $x - 4\zeta_1 t = \text{const}$ имеем

$$S_{12}^0 = T Q_{\text{d}}^0 T \begin{pmatrix} 1 & 0 \\ 0 & 1 \end{pmatrix} T (Q_{\text{d}}^0)^{-1} T = T Q_{\text{d}}^0 \sigma_3 C_{\text{d}}^0 =$$

$$= TS_{\text{d}} T = \begin{pmatrix} -S_{12}^0 \\ (S_{12}^0 - S_{22}^0) e^{2i(\chi + \chi')} \\ S_{32}^0 e^{-2i(\chi + \chi')} \end{pmatrix}. \quad (5.19)$$

Выполним при $t \rightarrow -\infty$, $x - 4\zeta_1 t = \text{const}$ решение S_{32}^0 превращается в S_3 -солитон $(S_1, S_2, S_3) \rightarrow (S_1, -S_2, -S_3)$ и характеризуется параметрами

$$V_1 = 4\zeta_1, \quad \omega_1 = 4|\mu_1|^2 + 4\alpha^2,$$

$$x_0^- = \frac{1}{2\eta_1} \ln |A_1|, \quad \theta_0^- = \arg A_1 - 2\chi - 2\chi'.$$

Таким образом, эффект превращения S_3 -солитона (4.3) через матричный солитон (4.10) описывается соотношениями

$$(S_1, S_2, S_3) \rightarrow (S_1, -S_2, -S_3),$$

$$\begin{aligned} \Delta x_0 &= \infty^+ - \infty^- = \frac{1}{2\eta_1} \ln \left| \frac{\mu_1 + \alpha}{\mu_1 - \alpha} \right|, \\ \Delta \theta_0 &= \theta_0^+ - \theta_0^- = \arg \frac{\mu_1 + \alpha}{\mu_1 - \alpha} + 2\chi. \end{aligned} \quad (5.19)$$

Отметим, что в отличие от взаимодействия двух S_3 -солитонов в формах (5.15), (5.19), описываемых взаимодействием дополнительной строки II солитона, имеют иную инвариантность. В частности, сдвиг солитона в здрав раза меняет сдвиги дополнительной стены.

На эти мы заканчиваем демонстрацию применения процедуры одоле-

нами к вопросам взаимодействия элементарных решений уравнения Л-Л.
Заметим только, что, устремив соответствующие предельные переходы
в полученных нами формулах, можно без труда описать и процесс взаимо-
действия с участием радиальных солитонов (4.21). Наконец, со-
вершенно аналогичным образом может быть исследовано взаимодействие
 S_1 -солитонов. Однако в этом случае гораздо эффективнее оказывается
сочленение, основанный на выражении конечнозначных решений уравнения
Л-Л. Этот подход будет изложен в § 9. (часть II настоящей работы).

УРАВНЕНИЕ ЛАНДАУ-ЛИБОЛДА.
ТЕОРИЯ ТОРЧЕК РЕШЕНИЙ
(Часть I)

Отдел научно-технической информации
Донбасс АН УССР

Научный редактор д-р физ.-мат. наук Д. А. Болонский
Редактор С. С. Фомина
Корректор О. Е. Прозоровская

Подписано к печати 23.05.84г. № 04749.
Формат 50x108 1/16. Типография № 1. Общая печать,
Усл. печ. л. 2. Ул. изд. л. 1,9. Тираж 130 экз.
Заказ 149. Цена 11 коп.
Редактор КБГ АН УССР.
Донецк-48, ул. Университетская, 77.